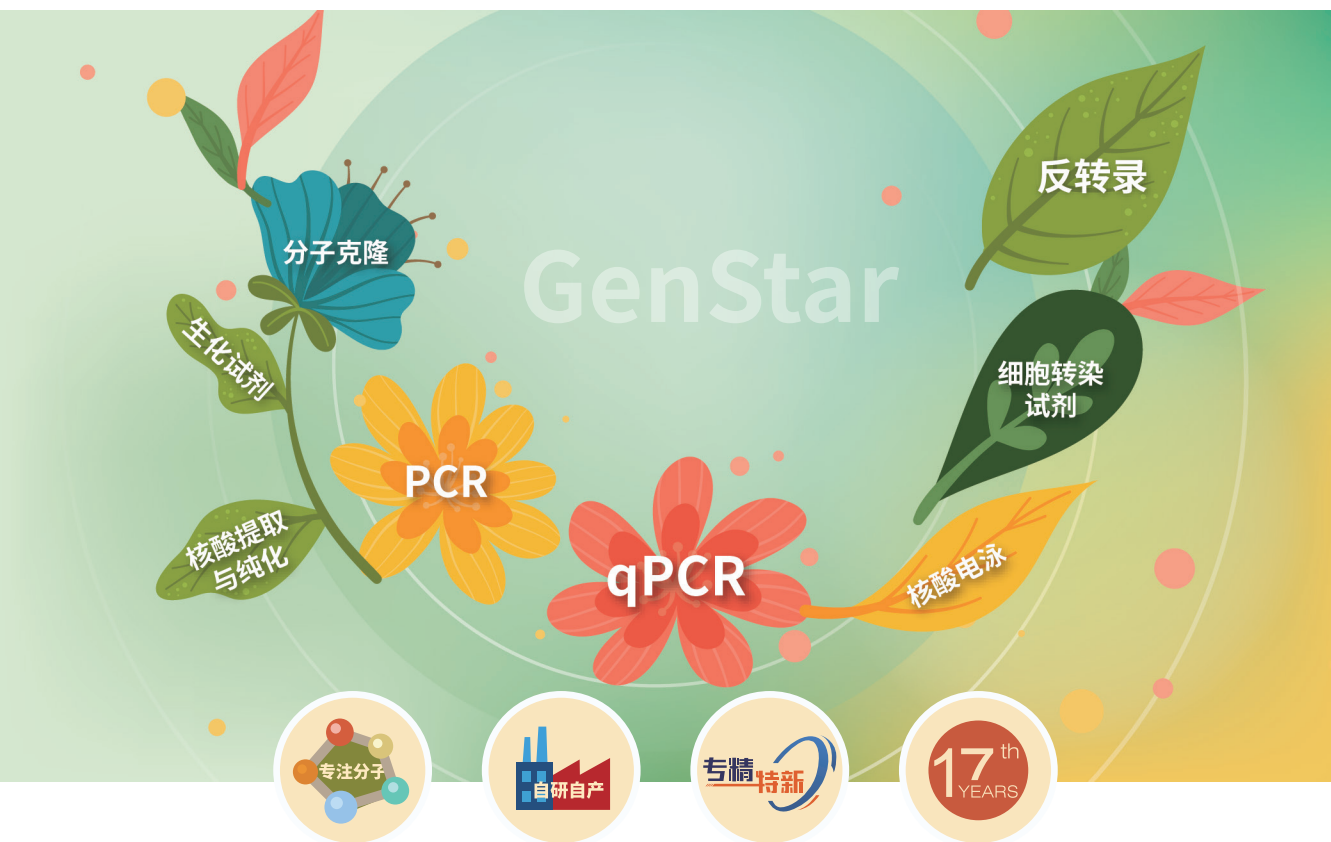
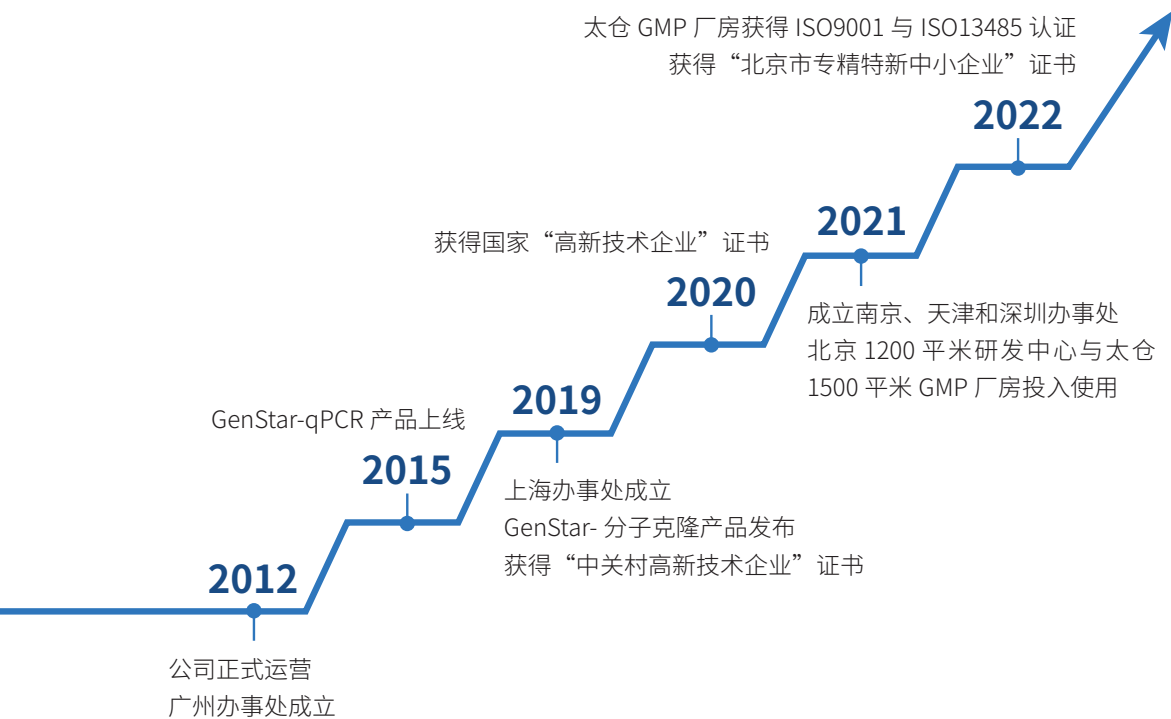


GenStar 重点产品手册



发展历程





康润生物，伴您生命科学成功之路

北京康润诚业生物科技有限公司 (GenStar) 总部位于北京，在江苏太仓设立主要生产基地。自成立十余年以来，一直深耕于分子生物学上游核心原料领域，是国内领先的兼具研发和工业化生产能力的国家高新技术企业。

GenStar 产品线覆盖核酸分离纯化、扩增、克隆、反转录、qPCR、蛋白和细胞相关等多个系列千余种产品，并向下游应用拓展开发了各类科研用检测试剂盒，如动物疫病检测试剂盒、食品安全检测试剂盒等。目前产品的 SCI 论文发表总数已达数千篇。

康润生物拥有覆盖全国的直销和渠道销售体系，与超过两千个科研院所课题组和数百家包括生物制药、基因治疗、CXO、动物疫病检测、分子诊断、检测服务在内的工业客户长期合作。

GenStar 专业的团队、优质的产品、丰富的经验、悉心的服务，就在您的身边。



北京市“专精特新”

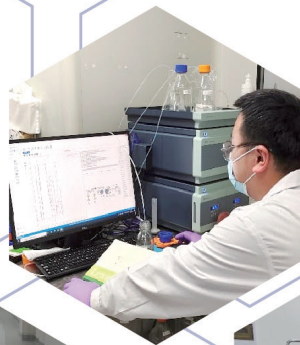


国家高新技术企业



中关村高新技术企业





质量为先，产品为本

- ☆ 北京 1200 平米研发中心
- ☆ 太仓 1500 平米 GMP 厂房
- ☆ 创新的研发能力
- ☆ 先进的生产设备
- ☆ 完善的质控体系

服务为诚，信誉为重

- ☆ 辐射全国的直销和经销体系
- ☆ 专业的技术支持团队
- ☆ 悉心周到的售前、售后服务



ISO13485 认证证书

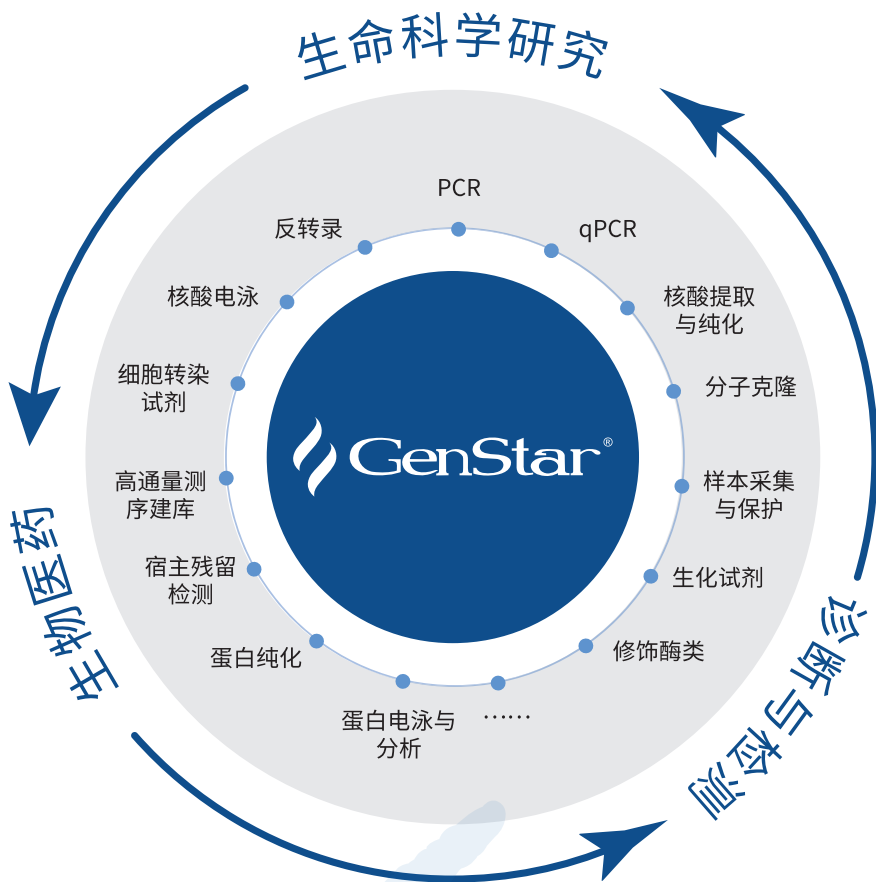


ISO9001 认证证书

客户服务

 **2000+**
科研客户

 **200+**
工业客户



目录

Contents

| | |
|--------------|----|
| 产品列表 | 02 |
| 新产品介绍 | |
| 蛋白凝胶制备新品 | 27 |
| 推荐产品介绍 | |
| 1) 核酸提取系列 | 28 |
| 2) PCR 系列 | 32 |
| 3) 分子克隆系列 | 39 |
| 4) 核酸电泳系列 | 41 |
| 5) 反转录系列 | 42 |
| 6) qPCR 系列 | 46 |
| 7) qPCR 实验耗材 | 52 |
| 8) 原料酶系列 | 54 |
| 代表文献集锦 | 55 |

核酸提取纯化系列

样品保存 / 环境清洁

| 产品名称 | 产品特点 | 货号 | 规格 | 目录价 (¥) |
|-------------------------------------|--|---------|------------|---------|
| 重推 DNA/RNA Cleaner | 去除环境中的 DNA/RNA 残留, 用于实验室地面、台面、试验耗材等清洁, 防止假阳性 | P308-01 | 300 ml × 2 | 298 |
| 重推 StarRNA Tissue Stabilizer | 用于野外采样时, 组织 RNA 的常温保存 | P301-10 | 100 ml | 476 |
| Inactivated Virus Sample Stabilizer | 灭活型, 用于鼻咽拭子, 采样滤纸、布条等病毒核酸样本的常温保存 | S901-10 | 100 ml | 198 |

病毒 DNA/RNA 共提取

| 产品名称 | 产品特点 | 货号 | 规格 | 目录价 (¥) |
|---------------------------------|--|---------|--------|---------|
| StarSpin Fast Virus DNA/RNA Kit | 1) 用于组织、血液、体液、拭子的 DNA/RNA 病毒核酸共提取 2) P142 提取得率高, 处理较为复杂的样品, 如组织、细胞等 | P144-01 | 50 rxn | 698 |
| StarSpin Virus DNA/RNA Kit | 3) P144 提取速度快, 处理常规的唾液、拭子等 | P142-01 | 50 rxn | 698 |

RNA 提取

| 产品名称 | 产品特点 | 货号 | 规格 | 目录价 (¥) |
|--|--|-----------|----------------------------|---------|
| TRIGene Plus | 1) Trizol 法 RNA 提取, 适合动物、植物、细胞、细菌各种样品 | P108-05 | 100 rxn | 398 |
| RNA Extraction Reagent | 2) P118: Trizol 试剂; P108: Trizol 试剂 + 氯仿替代物 | P109-05 | 100 ml | 468 |
| HOT TRIGene Reagent | 3) P109: 单独的氯仿替代物 | P118-05 | 100 ml | 298 |
| StarPure RNA Kit | 1) Trizol 法结合柱式纯化, 高裂解能力和高纯度 2) 适用于动物、植物、培养细胞、细菌等各种样品 | P120-05 | 100 rxn | 1068 |
| StarSpin Small RNA Kit | 3) P120: 总 RNA 不含 small RNA; P138: 总 RNA 含有 small RNA | P138-01 | 50 rxn | 998 |
| StarSpin Fast Cell RNA Kit | 柱式法, 安全无毒, 7 min 提取培养细胞的总 RNA | P130-05 | 50 rxn | 568 |
| 重推 StarSpin Animal RNA Kit | 柱式法, 安全无毒, 动物组织 RNA 提取试剂盒 | P133-01 | 50 rxn | 898 |
| 重推 StarSpin Plant RNA Kit (Polysaccharides & Polyphenols-rich) | 柱式法, 安全无毒, 多糖多酚植物组织 RNA 提取试剂盒 | P134-01 | 50 rxn | 998 |
| StarSpin Plant RNA Kit | 柱式法, 安全无毒, 植物组织 RNA 提取试剂盒 | P135-01 | 50 rxn | 898 |
| 新产品 StarMag Animal RNA Kit | 磁珠法, 非预分装板, 用户根据样品数量灵活使用 | P333-01 | 50 rxn | 898 |
| 新产品 StarMag Plant RNA Kit (Polysaccharides & Polyphenols-rich) | 磁珠法, 非预分装板, 用户根据样品数量灵活使用 | P334-01 | 50 rxn | 998 |
|  16 通道全自动核酸提取仪 (mini 型) | 全自动磁珠法核酸提取仪 | Y401-01 | 1 台 | 21998 |
| 新产品 2.2ml 96-well Deep Well Plate, Square Hole, Conical Bottom, Frosted | 核酸提取仪耗材: 2.2ml 96 孔深孔板, 方孔, 锥底, 磨砂 | YH401-10 | 5 块 / 包, 2 包 / 盒 | 138 |
| | | YH401-50 | 5 块 / 包, 2 包 / 盒, 5 盒 / 箱 | 638 |
| 新产品 8-Tube Strip, Magnetic Rod Sleeve | 核酸提取仪耗材: 8 联排磁棒套 | YH402-25 | 2 个 / 包, 25 包 / 盒 | 98 |
| | | YH402-125 | 2 个 / 包, 25 包 / 盒, 5 盒 / 箱 | 438 |

DNA 提取

| 产品名称 | 产品特点 | 货号 | 规格 | 目录价 (¥) |
|---------------------------------------|------------------------------------|---------|---------|---------|
| 星推荐 StarSpin Universal DNA Kit | 柱式法, 动物组织、血液、细菌、真菌 DNA 提取试剂盒 | D133-01 | 50 rxn | 398 |
| 星推荐 StarSpin Plant DNA Kit | 柱式法, 植物 DNA 提取试剂盒 | D135-01 | 50 rxn | 398 |
| StarSpin Blood DNA Kit (0.1-1 ml) | 柱式法, 动物血液 DNA 提取试剂盒, 样品体积 0.1-1 ml | D136-01 | 50 rxn | 398 |
| StarPrep Solution-based Plant DNA Kit | 溶液法, 改进的 CTAB 法提取试剂 | D101-01 | 200 rxn | 260 |

质粒提取

| 产品名称 | 产品特点 | 货号 | 规格 | 目录价 (¥) |
|--|--|------------|----------------|----------|
| HOT! StarPrep Fast Plasmid Mini Kit | 质粒小提 | D201-01/04 | 50 rxn/200 rxn | 142/510 |
| StarPrep High-speed Plasmid Miniprep Kit | 快速质粒小提 | D204-01/04 | 50 rxn/200 rxn | 169/610 |
| StarPure Endo-free Plasmid Maxi Kit | 无内毒素质粒大提试剂盒, 所提质粒可用于 293、Hela 等常规细胞的转染 | D210-01 | 10 rxn | 798 |
| 新产品 StarPure Endo-free Pro Plasmid Maxi Kit | 无内毒素质粒大提试剂盒, 超低内毒素所提质粒可用于原代细胞等脆弱细胞的转染 | D211-01 | 10 rxn | 898 |
| 新产品 StarPure Endo-free Plasmid Midi Kit | 无内毒素质粒小提中量试剂盒, 所提质粒可用于 293、Hela 等常规细胞的转染 | D213-01/04 | 50 rxn/200 rxn | 468/1668 |
| StarPrep Solution-based Plasmid Maxi Kit | 溶液法质粒大提 | D212-01 | 10 rxn | 560 |

PCR 产物纯化和胶回收

| 产品名称 | 产品特点 | 货号 | 规格 | 目录价 (¥) |
|---|-----------------------------------|------------|----------------|---------|
| HOT! StarPrep DNA Gel Extraction Kit | DNA 片段纯化, 切胶回收, 适用于 10 kb 以下的片段回收 | D205-01/04 | 50 rxn/200 rxn | 178/640 |

核酸提取配套试剂

| 产品名称 | 货号 | 规格 | 目录价 (¥) |
|--------------------------------|------|-------|---------|
| 10×TE Solution | B105 | 10 ml | 51 |
| 20 mg/ml Proteinase K Solution | B108 | 1 ml | 249 |
| 10 mg/ml RNase A Solution | B115 | 1 ml | 142 |

16 通道全自动核酸提取仪 (mini 型)

**操作简单**

- ▶ 手机操控, 中文界面, 操作简单易上手
- ▶ 多达 6 个震荡混合档位, 支持加热与程序编辑

适用范围广

- ▶ 兼容市面主流磁珠提取试剂盒
- ▶ 支持血液、尿液、拭子、组织、植物、细菌和培养细胞等各类样本
- ▶ DNA、RNA 均可提取, 产物可直接用于 PCR, RT-PCR 等下游实验

防污染设计

- ▶ 内置紫外灯, 可定时进行消毒
- ▶ 使用一次性耗材, 减少污染风险

高效可靠

- ▶ 提取时间仅需 10-60 分钟
- ▶ 一次性磁套, 精密机械设计确保稳定和可靠的提取结果

PCR 系列

高保真 PCR

| 产品名称 | 产品特点 | 货号 | 规格 | 目录价 (¥) |
|---|---|---------------|----------------|-----------|
| HOT! 2× SuperNova PCR Mix (Dye) | 1) 保真度: <i>Taq</i> 酶的 80 倍 2) 扩增速度: 15-30 s/kb 3) 超长片段: 简单模板可达 15 kb, 复杂模板可达 10 kb 4) A064/A065: 高 GC、长片段、复杂模板中表现突出 5) A066/A067: 提供单独 GC Enhancer, 通用性好, 22%-80% GC 含量的目的片段均可良好扩增 6) A164 为单酶形式, buffer 灵活调整, 可选 Max buffer 和 GC buffer | A064-05/10 | 1 ml×5/1 ml×10 | 1598/2798 |
| 2× SuperNova PCR Mix | | A065-05/10 | 1 ml×5/1 ml×10 | 1598/2798 |
| 2× SuperNova Max PCR Mix (Dye) | | A066-05/10 | 1 ml×5/1 ml×10 | 1598/2798 |
| 2× SuperNova Max PCR Mix | | A067-05/10 | 1 ml×5/1 ml×10 | 1598/2798 |
| SuperNova DNA Polymerase | | A164-01/05 | 100 U/100 U×5 | 398/1798 |
| 2× SuperNova HTS PCR Mix | | A069-05/10 | 1 ml×5/1 ml×10 | 1598/2798 |
| 新产品 SuperNova HTS DNA Polymerase | A169-01/05 | 100 U/100 U×5 | 398/1798 | |

普通 PCR

| 产品名称 | 产品特点 | 货号 | 规格 | 目录价 (¥) |
|---|---|---------------|------------------|----------|
| HOT! 2× <i>Taq</i> PCR StarMix (Dye) | <i>Taq</i> Mix, 含红色染料, 用于基因鉴定、菌落 PCR 等 | A012-10/100 | 1 ml×10/1 ml×100 | 268/2398 |
| 2× <i>Taq</i> PCR StarMix (Blue Dye) | <i>Taq</i> Mix, 含蓝色染料, 用于基因鉴定、菌落 PCR 等 | A012-B10/B100 | 1 ml×10/1 ml×100 | 268/2398 |
| HOT! 2× <i>Taq</i> PCR StarMix for PAGE (Dye) | <i>Taq</i> Mix, 含红色染料, PAGE 电泳专用 | A006-10/100 | 1 ml×10/1 ml×100 | 268/2398 |
| 2× <i>Taq</i> PCR StarMix | <i>Taq</i> Mix, 无染料, 用于基因鉴定、菌落 PCR 等 | A015-10 | 1 ml×10 | 268 |
| <i>Taq</i> DNA Polymerase (Mg ²⁺ -free Buffer) | <i>Taq</i> 单酶形式, buffer 不含 Mg ²⁺ , 单独提供 MgCl ₂ 溶液 | A110-10 | 500 U×10 | 580 |
| <i>Taq</i> DNA Polymerase (Mg ²⁺ -plus Buffer) | <i>Taq</i> 单酶形式, buffer 已预混 Mg ²⁺ | A111-10 | 500 U×10 | 580 |

快速 PCR

| 产品名称 | 产品特点 | 货号 | 规格 | 目录价 (¥) |
|---|--|---------------|------------------|----------|
| HOT! 2× SuperTaq PCR StarMix (Dye) | 1) 5 s/kb 快速 <i>Taq</i> mix, 用于基因鉴定、菌落 PCR 等 2) A002/A003: A002 含红色染料, A003 不含染料 3) A008: 适合 PAGE 实验, 含红色染料 4) A005/A005-C: 极低 <i>E.coli</i> 核酸残留, 适合细菌 16S 的鉴定 | A002-10/100 | 1 ml×10/1 ml×100 | 268/2398 |
| 2× SuperTaq PCR StarMix | | A003-10/100 | 1 ml×10/1 ml×100 | 268/2398 |
| 2× SuperTaq PCR StarMix for PAGE (Dye) | | A008-10/100 | 1 ml×10/1 ml×100 | 268/2398 |
| 2× SuperTaq PCR StarMix Low DNA (Dye) | | A005-10/100 | 1 ml×10/1 ml×100 | 398/3568 |
| 2× SuperTaq PCR StarMix Low DNA | | A005-C10/C100 | 1 ml×10/1 ml×100 | 398/3568 |

高效 PCR

| 产品名称 | 产品特点 | 货号 | 规格 | 目录价 (¥) |
|--|---|----------------|---------------------------|-------------|
| 2× UltraTaq PCR StarMix | 高性能 <i>Taq</i> mix, 无染料, 适用于高 GC/ 超长片段 / 复杂模板 | A014-01/10 | 1 ml/1 ml×10 | 48/398 |
| 星推荐 2× UltraTaq PCR StarMix (Dye) | 高性能 <i>Taq</i> mix, 含红色染料, 适用于高 GC/ 超长片段 / 复杂模板 | A019-01/10/100 | 1 ml/1 ml×10/ 1 ml×100 | 48/398/3568 |

直扩 PCR

| 产品名称 | 产品特点 | 货号 | 规格 | 目录价 (¥) |
|----------------------------------|----------------------------------|---------|---------|---------|
| StarDirect Mouse HS PCR Kit | 鼠尾快速裂解, 直扩 PCR。适用于快速鼠尾基因鉴定 | A157-02 | 200 rxn | 398 |
| StarDirect Mouse HS HiFi PCR Kit | 鼠尾快速裂解, 直扩 PCR。热启动高保真为核心, 特异性更高。 | A158-02 | 200 rxn | 1368 |
| SuperNova Blood Direct PCR Kit | 新鲜血液, 抗凝血、血卡的快速 PCR 直扩, 兼容各种抗凝血剂 | A161-02 | 200 rxn | 1538 |

热启动 PCR

| 产品名称 | 产品特点 | 货号 | 规格 | 目录价 (¥) |
|------------------------------|--|---------|----------|---------|
| 2× Fast HSTaq StarMix (Dye) | 抗体法热启动 <i>Taq</i> Mix, 30 s 快速热启动, 含红色染料 | A032-10 | 1 ml×10 | 898 |
| 2× Fast HSTaq StarMix | 抗体法热启动 <i>Taq</i> Mix, 30 s 快速热启动, 不含染料 | A033-10 | 1 ml×10 | 898 |
| Fast HSTaq DNA Polymerase | 抗体法热启动 <i>Taq</i> , 单酶形式, 30 s 快速热启动 | A131-10 | 250 U×10 | 2868 |
| 2× Power HSTaq StarMix (Dye) | 化学法热启动 <i>Taq</i> Mix, 10 min 热启动, 特异性好, 含红色染料 | A036-10 | 1 ml×10 | 898 |
| 2× Power HSTaq StarMix | 化学法热启动 <i>Taq</i> Mix, 10 min 热启动, 特异性好, 不含染料 | A037-10 | 1 ml×10 | 898 |
| Power HSTaq DNA Polymerase | 化学法热启动 <i>Taq</i> , 单酶形式, 10 min 热启动, 特异性好 | A135-10 | 250 U×10 | 2868 |

多重 PCR

| 产品名称 | 产品特点 | 货号 | 规格 | 目录价 (¥) |
|--------------------------------|---------------------------------------|------------|--------------|----------|
| 2× Multiplex PCR StarMix | 同时扩增 2-19 个片段, 扩增偏性低, 产物均一性好 | A099-01/10 | 1 ml/1 ml×10 | 168/1298 |
| 2× Multiplex PCR StarMix (UNG) | 同时扩增 2-19 个片段, 扩增偏性低, 产物均一性好, 含 UDG 酶 | A092-01/10 | 1 ml/1 ml×10 | 238/1898 |

PCR 配套产品

| 产品名称 | 产品特点 | 货号 | 规格 | 目录价 (¥) |
|------------------------|------------------------------------|----------------|-----------------------------|------------|
| Sterile Water | 灭菌双蒸水, 可用于 PCR、qPCR 等实验 | A129-02/10/100 | 500 ml/1 ml×10/ 1 ml×100 | 183/32/299 |
| dNTPs Mix (10mM Each) | dATP,dTTP, dCTP, dGTP, 每种浓度 10 mM | A113-01/10 | 0.5 ml/0.5 ml×10 | 108/860 |
| dNTPs Mix (2.5mM Each) | dATP,dTTP, dCTP, dGTP, 每种浓度 2.5 mM | A114-01/10 | 1 ml/1 ml×10 | 54/430 |
| 100mM dATP | | A146-01/10 | 100 µl/1 ml | 89/712 |
| 100mM dTTP | | A147-01/10 | 100 µl/1 ml | 89/712 |
| 100mM dCTP | | A148-01/10 | 100 µl/1 ml | 89/712 |
| 100mM dGTP | | A149-01/10 | 100 µl/1 ml | 89/712 |
| 100mM dUTP | | A150-01/10 | 100 µl/1 ml | 295/2360 |


核酸电泳系列

DNA marker

| 产品名称 | 货号 | 规格 | 目录价(¥) |
|-----------------------------------|-------------------|--------------------------------------|------------------|
| HOT! StarMarker D2000 | M022-01/05/10/100 | 500 µl/500 µl×5/500 µl×10/500 µl×100 | 120/520/920/9020 |
| HOT! StarMarker D2000 Plus | M021-01/05/10/100 | 500 µl/500 µl×5/500 µl×10/500 µl×100 | 120/520/920/9020 |
| StarMarker D2000 II | M032-01/05/10 | 500 µl/500 µl×5/500 µl×10 | 120/520/920 |
| HOT! StarMarker D5000 | M030-01/05/10 | 500 µl/500 µl×5/500 µl×10 | 120/520/920 |

| 产品名称 | 货号 | 规格 | 目录价(¥) |
|----------------------------------|---------------|---------------------------|---------------|
| StarMarker D750 | M020-01/05/10 | 500 µl/500 µl×5/500 µl×10 | 120/520/920 |
| StarMarker D8000 | M031-01/05/10 | 500 µl/500 µl×5/500 µl×10 | 120/520/920 |
| StarMarker D15k | M013-01/05/10 | 500 µl/500 µl×5/500 µl×10 | 150/650/1050 |
| StarMarker D20k | M033-01/05/10 | 500 µl/500 µl×5/500 µl×10 | 200/900/1600 |
| StarMarker 50bp Ladder | M018-01/05/10 | 500 µl/500 µl×5/500 µl×10 | 280/1180/2080 |
| StarMarker 100bp Ladder | M016-01/05/10 | 500 µl/500 µl×5/500 µl×10 | 150/650/1050 |
| StarMarker 100bp Ladder Plus | M017-01/05/10 | 500 µl/500 µl×5/500 µl×10 | 150/650/1050 |
| StarMarker 500bp Ladder | M012-01/05/10 | 500 µl/500 µl×5/500 µl×10 | 150/650/1050 |
| StarMarker 1kb Ladder | M014-01/05/10 | 500 µl/500 µl×5/500 µl×10 | 120/520/920 |
| StarMarker 1kb Ladder Plus | M015-01/05/10 | 500 µl/500 µl×5/500 µl×10 | 150/650/1050 |
| StarMarker 1kb Ladder II | M034-01/05 | 500 µl/500 µl×5 | 120/520 |
| StarMarker 1kb Ladder Plus III | M039-01/05 | 500 µl/500 µl×5 | 200/900 |
| StarMarker 100bp Ladder III | M040-01/05 | 500 µl/500 µl×5 | 150/650 |
| StarMarker Customized DNA Ladder | 可定制产品 | 500 µl/500 µl×5/500 µl×10 | / |

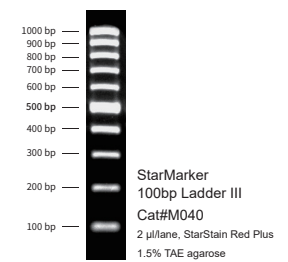
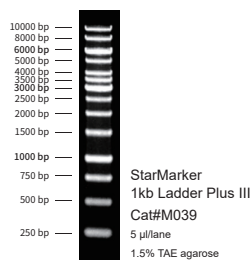
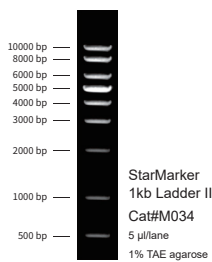
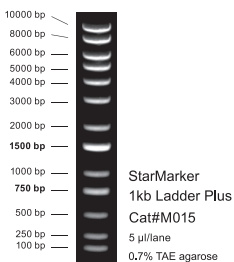
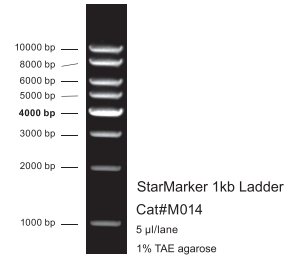
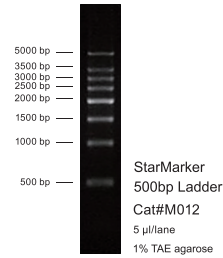
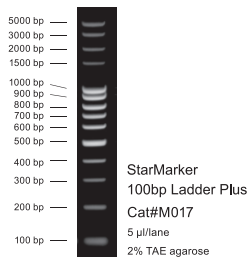
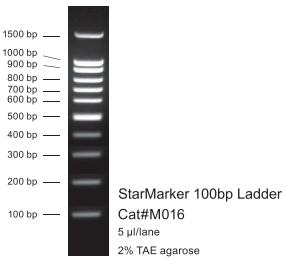
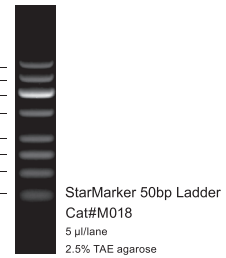
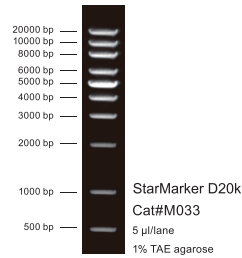
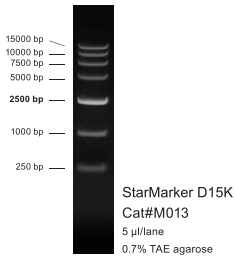
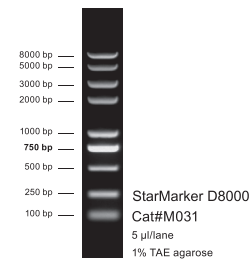
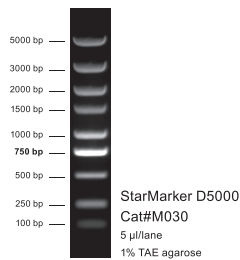
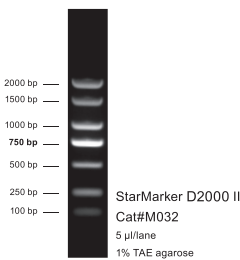
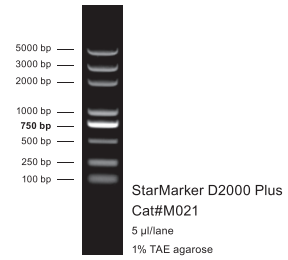
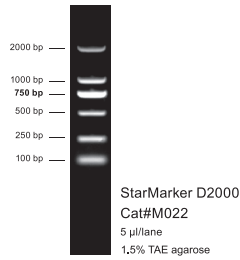
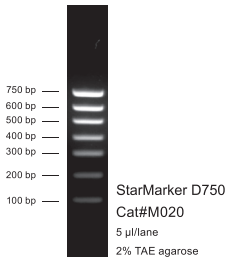
核酸染料

| 产品名称 | 产品特点 | 货号 | 规格 | 目录价(¥) |
|---|------------------------------------|------------|------------------|----------|
| StarStain Red Plus Nucleic Acid Dye 10,000× | Gel Red, 适用于紫外成像 | E110-01/10 | 500 µl/500 µl×10 | 564/5076 |
| StarGreen safe Nucleic Acid Dye 10,000× | SYBR safe 类似物, 适用于蓝光仪, 条带清晰锐利 | E111-01/10 | 500 µl/500 µl×10 | 395/3555 |
| 新产品 StarStain Red Enhanced Nucleic Acid Dye 10,000× | 新一代 Gel Red, 适用于紫外成像, 背景更干净, 条带更锐利 | E113-01/10 | 500 µl/500 µl×10 | 398/3568 |
|  蓝光切胶仪 | 蓝光切胶仪, 更好地保护操作人员和样品 | Y301-01 | 1 台 | 1938 |

核酸电泳配套产品

| 产品名称 | 货号 | 规格 | 目录价(¥) |
|-------------------------------------|---------|---------|--------|
| 50×Swift DNA Electrophoresis Buffer | E101-50 | 500 ml | 270 |
| 50×TAE DNA Electrophoresis Buffer | E102-50 | 500 ml | 166 |
| 10×TBE DNA Electrophoresis Buffer | E103-50 | 500 ml | 166 |
| 6×DNA Loading Buffer | E106-10 | 1 ml×10 | 160 |

GenStar DNA Markers 家族成员条带效果图



分子克隆系列


常规克隆

| 产品名称 | 产品特点 | 货号 | 规格 | 目录价(¥) |
|------------------------|--|------------|---------------------|----------|
| T4 DNA Ligase | T4 DNA 连接酶 | A501-01/05 | 20,000 U/20,000 U×5 | 138/568 |
| Rapid DNA Ligation Kit | DNA 快连试剂盒, 高浓度 T4 连接酶, 常温 5 min 完成连接反应 | A502-01/04 | 50 rxn/200 rxn | 568/2038 |

TOPO 克隆

| 产品名称 | 产品特点 | 货号 | 规格 | 目录价(¥) |
|--|---|-------------|----------------|----------|
|  EZ-TA/Blunt Zero pTOPO II Cloning Kit | TOPO 异构酶, 常温 5 min 完成连接反应, A 端 / 平端通用载体 | T185-20/100 | 20 rxn/100 rxn | 638/2798 |



无缝克隆 (同源重组克隆)

| 产品名称 | 产品特点 | 货号 | 规格 | 目录价(¥) |
|---|-------------------------------------|-------------|----------------|----------|
|  EZ-HiFi Seamless Cloning Kit | 可连接 1-5 个片段, 50°C 反应, 最快 5 min 完成连接 | T196-20/100 | 20 rxn/100 rxn | 660/2805 |
| EZ-Flex Seamless Cloning Kit | 可连接 1-5 个片段, 37°C 反应, 30 min 完成连接 | T197-20/100 | 20 rxn/100 rxn | 660/2805 |

随机突变试剂盒

| 产品名称 | 产品特点 | 货号 | 规格 | 目录价(¥) |
|--|---|---------|--------|--------|
|  StarMut Random Mutagenesis Kit | 利用 <i>Taq</i> 酶的易错性, 在 PCR 过程中对目标片段引入随机突变 | T115-01 | 20 rxn | 1469 |

分子克隆配套产品

| 产品名称 | 产品特点 | 货号 | 规格 | 目录价(¥) |
|---|---------------------|---------|---------|--------|
|  StarFast Dpn I | 内切酶 Dpn I | T201-01 | 50 µl | 238 |
|  Taq DNA Ligase | Taq DNA 连接酶, 用于缺口补平 | T202-01 | 1000 U | 338 |
| 20mg/ml X-Gal Solution | | B118-10 | 1 ml×10 | 720 |
| 100mM IPTG Solution | | B117-10 | 1 ml×10 | 180 |
| 100mg/ml Ampicillin Solution (Amp) | | B116-10 | 1 ml×10 | 180 |
| 34mg/ml Chloramphenicol Solution (Cm) | | B119-10 | 1 ml×10 | 180 |
| 100mg/ml Kanamycin Solution (Kan) | | B120-10 | 1 ml×10 | 180 |

无缝克隆

EZ-HiFi Seamless Cloning Kit (T196)

产品特点

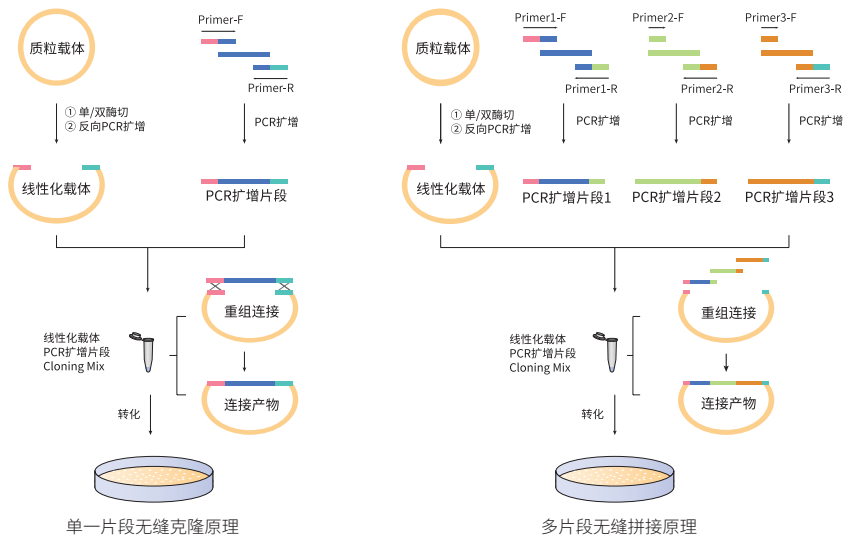
⚡ 反应快速：单片段连接 5 min 内完成，多片段连接 15 min 内完成

🔗 连接高效：连接效率高，克隆阳性率可达 95% 以上

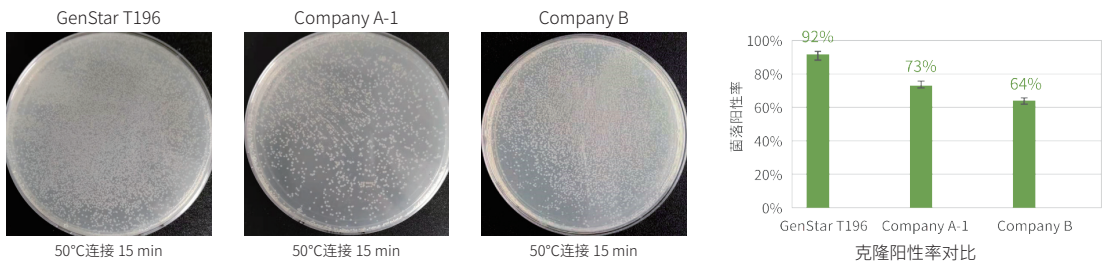
🧪 兼容性强：不受酶切位点限制，且单片段和多片段克隆均适用

🔍 保真度高：可用于定点突变

工作原理



性能数据




结果显示，T196 较其它同类产品，转化后得到的菌落数更多，且克隆阳性率更高

反转录系列


通用型 RT 酶 / 试剂盒

| 产品名称 | 产品特点 | 货号 | 规格 | 目录价 (¥) |
|--------------------------------------|---|------------|------------------|---------|
| StarScript III Reverse Transcriptase | 1) 第三代反转录酶, 最高可耐受 65°C 反应, 合成 cDNA 长度超过 15 kb, 适用于低丰度模板 (10 pg total RNA) | A231-01/05 | 2,000 U/10,000 U | 180/780 |
| StarScript III RT Kit | 2) A231: 单酶形式; A232: 包含 cDNA 合成的全部组分, oligo dT 和随机引物单独包装 | A232-02/10 | 20 rxn/100 rxn | 228/988 |
| RNase Inhibitor (RNaseIn) | 重组鼠源 RNase 抑制剂 | A218-01 | 2,000 U | 590 |
| Thermolabile dsDNase | 热敏型双链 DNA 酶, 在反转录前消化 RNA 样品中残留的 DNA | A219-01 | 100 U | 320 |
| Oligo18 (dT) Primer | | A212-105 | 50 µl | 70 |
| Random Primer | | A212-106 | 50 µl | 70 |

qPCR 专用 RT 两步法预混液

| 产品名称 | 产品特点 | 货号 | 规格 | 目录价 (¥) |
|--|----------------------------------|------------|----------------|----------|
| StarScript III RT Mix with gDNA Remover | 第三代反转录酶, 带 gDNA 去除组分, RT 预混试剂 | A234-02/10 | 20 rxn/100 rxn | 288/1188 |
|  StarScript III RT SuperMix for qPCR (with gDNA Remover) | 第三代反转录酶, 更好的 gDNA 去除能力, 更强的反转录能力 | A241-02/10 | 20 rxn/100 rxn | 338/1568 |

qPCR 专用 RT 一管化预混液

| 产品名称 | 产品特点 | 货号 | 规格 | 目录价 (¥) |
|---|-----------------------------------|------------|----------------|----------|
| StarScript III RT MasterMix | 第三代反转录酶, RT 预混液, 操作简便 | A233-02/10 | 20 rxn/100 rxn | 228/988 |
| StarScript III All-in-one RT Mix with gDNA Remover | 第三代反转录酶, 带 gDNA 去除组分, 一管化预混液 | A230-02/10 | 20 rxn/100 rxn | 288/1188 |
|  StarScript Pro All-in-one RT Mix with gDNA Remover | 第三代反转录酶, 带 gDNA 去除组分, 一管化预混液, 加强版 | A240-02/10 | 20 rxn/100 rxn | 338/1568 |

miRNA 专用 RT 试剂盒

| 产品名称 | 产品特点 | 货号 | 规格 | 目录价 (¥) |
|--|--|------------|----------------|-----------|
| StarScript III miRNA RT Kit (by stem-loop) | 1) 第三代反转录酶, miRNA 专用反转录试剂盒, 提供通用 U6 反转录引物和 qPCR 引物, 低至 10 pg total RNA | A237-02/10 | 20 rxn/100 rxn | 238/998 |
| StarScript III miRNA RT Kit (by poly A) | 2) A237: 茎环引物法; A238: poly A 加尾法 | A238-02/10 | 20 rxn/100 rxn | 1538/6798 |

一步法 RT-PCR 预混液

| 产品名称 | 产品特点 | 货号 | 规格 | 目录价 (¥) |
|--|-----------------------------------|------------|----------------|----------|
| StarScript III One-Step RT-PCR Kit (Dye) | 一步法 RT-PCR 试剂盒, 含红色染料, PCR 后可直接电泳 | A235-01/04 | 50 rxn/200 rxn | 338/1188 |
| StarScript III One-Step RT-PCR Kit | 一步法 RT-PCR 试剂盒, 无染料 | A236-01/04 | 50 rxn/200 rxn | 338/1188 |

RT 配套产品

| 产品名称 | 产品特点 | 货号 | 规格 | 目录价 (¥) |
|------------------------------------|----------------------------------|------------|-------------------|---------|
| Nuclease-free Water (DEPC-treated) | 无 RNA 酶 / DNA 酶水, 可用于 RNA 的反转录反应 | A220-10/50 | 1 ml × 10 / 50 ml | 50/52 |
| DNase I (RNase-free) | | A216-01 | 250 U | 340 |
| RNase H | | A217-01 | 600 U | 652 |

qPCR 系列

染料法 qPCR

| 产品名称 | 产品特点 | 货号 | 规格 | 目录价 (¥) |
|---|--|------------|--------------------|-----------|
| 2×RealStar Fast SYBR qPCR Mix | Fast 染料法 qPCR 预混液, 无 ROX | A301-05/10 | 1.1 ml×5/1.1 ml×10 | 799/1508 |
| 2×RealStar Fast SYBR qPCR Mix (High ROX) | Fast 染料法 qPCR 预混液, 预混 High ROX | A303-05/10 | 1.1 ml×5/1.1 ml×10 | 799/1508 |
| 2×RealStar Fast SYBR qPCR Mix (Low ROX) | Fast 染料法 qPCR 预混液, 预混 Low ROX | A304-05/10 | 1.1 ml×5/1.1 ml×10 | 799/1508 |
| 2×RealStar Fast SYBR qPCR Mix (UNG) | Fast 染料法 qPCR 预混液, 无 ROX (可单独添加), 含 UDG 酶 | A302-05/10 | 1.1 ml×5/1.1 ml×10 | 1544/2742 |
| 2×RealStar Power SYBR qPCR Mix | Power 染料法 qPCR 预混液, 无 ROX | A311-05/10 | 1.1 ml×5/1.1 ml×10 | 799/1508 |
| 2×RealStar Power SYBR qPCR Mix (High ROX) | Power 染料法 qPCR 预混液, 预混 High ROX | A313-05/10 | 1.1 ml×5/1.1 ml×10 | 799/1508 |
| 2×RealStar Power SYBR qPCR Mix (Low ROX) | Power 染料法 qPCR 预混液, 预混 Low ROX | A314-05/10 | 1.1 ml×5/1.1 ml×10 | 799/1508 |
| 2×RealStar Power SYBR qPCR Mix (UNG) | Power 染料法 qPCR 预混液, 无 ROX (可单独添加), 含 UDG 酶 | A312-05/10 | 1.1 ml×5/1.1 ml×10 | 1544/2742 |

染料法 qPCR (通用型)

| 产品名称 | 产品特点 | 货号 | 规格 | 目录价 (¥) |
|------------------------------------|------------------------|------------|--------------------|----------|
| 2×RealStar Universal SYBR qPCR Mix | 通用 ROX 染料, 可以适用于各种仪器平台 | A308-05/10 | 1.1 ml×5/1.1 ml×10 | 798/1498 |

染料法 qPCR (加强型)

| 产品名称 | 产品特点 | 货号 | 规格 | 目录价 (¥) |
|--|------------------------------------|------------|--------------------|-----------|
| 2×RealStar Fast pro SYBR qPCR Mix | 更适用于高 GC 和低拷贝模板的 qPCR mix | A401-05/10 | 1.1 ml×5/1.1 ml×10 | 868/1598 |
| 2×RealStar Fast pro 染料法 qPCR 预混液 (UNG) | 更适用于高 GC 和低拷贝模板的 qPCR mix, 含 UDG 酶 | A402-05/10 | 1.1 ml×5/1.1 ml×10 | 1598/2838 |

探针法多重 qPCR 预混液

| 产品名称 | 产品特点 | 货号 | 规格 | 目录价 (¥) |
|--|--|--------------|------------------|----------|
| 2×Multiplex Fast Probe Mix (UNG) | 多重探针法 qPCR 预混液, 预混 UDG 酶 | A392-01/10 | 1.1 ml/1.1 ml×10 | 368/2998 |
| 2×Taq Pro Multiplex Probe Mix (UNG, Low DNA) | 突变 Taq 酶, 更强的抗干扰能力, 超低 E.coli DNA 残留, 预混 UDG 酶 | A394LD-01/10 | 1.1 ml/1.1 ml×10 | 368/2998 |

探针法多重 qRT-PCR 预混液

| 产品名称 | 产品特点 | 货号 | 规格 | 目录价 (¥) |
|--|------------------------------|------------|------------------|----------|
| Multiplex One-Step qRT-PCR Probe Kit (UNG) | 探针法多重 qRT-PCR 预混试剂, 预混 UDG 酶 | A388-01/10 | 100 rxn/1000 rxn | 998/8968 |
| Multiplex One-Tube qRT-PCR Probe Kit (UNG) | 一管化预混液, 预混 UDG 酶 | A382-01/10 | 100 rxn/1000 rxn | 998/8968 |

探针法 qPCR 预混液

| 产品名称 | 产品特点 | 货号 | 规格 | 目录价 (¥) |
|--------------------------------|-----------------------|------------|------------------|----------|
| 2×RealStar MethyLight qPCR Mix | 适用于探针法甲基化分析的 qPCR mix | A371-01/10 | 1.1 ml/1.1 ml×10 | 398/3198 |

新品

qPCR 实验耗材


96 孔板

| 产品名称 | 产品特点 | 货号 | 规格 | 目录价 (¥) |
|--|--------------|---------------|--------------------------------|----------|
|  0.1ml 96-well qPCR Plate, Non-skirted, White | 无裙边, 白色双切角 | HL96101-01/05 | 10 块 / 盒; 10 块 / 盒, 5 盒 / 箱 | 298/1398 |
|  0.1ml 96-well qPCR Plate, Semi-skirted, White | 半裙边, 白色单切角 | HL96111-01/05 | 10 块 / 盒; 10 块 / 盒, 5 盒 / 箱 | 298/1398 |
|  0.2ml 96-well qPCR Plate, Non-skirted, Clear | 无裙边, 透明双切角 | HL96200-01/05 | 10 块 / 盒; 10 块 / 盒, 5 盒 / 箱 | 298/1398 |
|  0.2ml 96-well qPCR Plate, Semi-skirted, Clear | 半裙边, 透明双切角 | HL96210-01/05 | 10 块 / 盒; 10 块 / 盒, 5 盒 / 箱 | 298/1398 |
|  0.1ml 96-well qPCR Plate, Non-skirted, Clear | 无裙边, 透明双切角 | HL96100-01/05 | 10 块 / 盒; 10 块 / 盒, 5 盒 / 箱 | 298/1398 |
|  0.1ml 96-well qPCR Plate, Semi-skirted, Clear | 半裙边, 透明单切角 | HL96110-01/05 | 10 块 / 盒; 10 块 / 盒, 5 盒 / 箱 | 298/1398 |
|  0.1ml 96-well qPCR Plate, Semi-skirted, Frosted Clear | 半裙边, 磨砂透明单切角 | HL96112-01/05 | 10 块 / 盒; 10 块 / 盒, 5 盒 / 箱 | 338/1598 |
|  0.2ml 96-well qPCR Plate, Semi-skirted, Frosted Clear | 半裙边, 磨砂透明单切角 | HL96212-01/05 | 10 块 / 盒; 10 块 / 盒, 5 盒 / 箱 | 338/1598 |

384 孔板

| 产品名称 | 产品特点 | 货号 | 规格 | 目录价 (¥) |
|--|--------------|---------------|--------------------------------|----------|
|  40µl 384-well qPCR Plate, White Full-skirted, White | 白色全裙边, 白色双切角 | HL38121-01/05 | 10 块 / 盒; 10 块 / 盒, 5 盒 / 箱 | 698/3298 |
|  40µl 384-well qPCR Plate, White Full-skirted, Clear | 白色全裙边, 透明单切角 | HL38120-01/05 | 10 块 / 盒; 10 块 / 盒, 5 盒 / 箱 | 698/3298 |

封板膜

| 产品名称 | 产品特点 | 货号 | 规格 | 目录价 (¥) |
|--|-------------------------|---------------|--------------------|---------|
|  qPCR Sealing Film (Adhesive), Clear | 超透光性, 高粘性膜, 适用于 qPCR 实验 | HL96551-01/05 | 10 片 / 盒; 50 片 / 盒 | 138/568 |
|  qPCR Sealing Film (Pressure-sensitive), Clear | 超透光性, 压敏膜, 适用于 qPCR 实验 | HL96552-01/05 | 10 片 / 盒; 50 片 / 盒 | 168/668 |

8 连排管

| 产品名称 | 产品特点 | 货号 | 规格 | 目录价 (¥) |
|---|-------------|---------------|----------------------------------|----------|
|  0.1ml qPCR 8-Tube Strip, Optical Caps, Clear | 平盖, 透明 | HL08100-01/05 | 125 套 / 盒; 125 套 / 盒, 5 盒 / 箱 | 568/2638 |
|  0.1ml qPCR 8-Tube Strip, Optical Caps, White | 平盖, 白色 | HL08101-01/05 | 125 套 / 盒; 125 套 / 盒, 5 盒 / 箱 | 568/2638 |
|  0.2ml qPCR 8-Tube Strip, Optical Caps, Clear | 平盖, 透明 | HL08200-01/05 | 125 套 / 盒; 125 套 / 盒, 5 盒 / 箱 | 568/2638 |
|  0.2ml qPCR 8-Tube Strip, Optical Caps, White | 平盖, 白色 | HL08201-01/05 | 125 套 / 盒; 125 套 / 盒, 5 盒 / 箱 | 568/2638 |
|  0.2ml PCR 8-Tube Strip with Caps, Clear | 排管 & 连盖, 透明 | HL08202-01/05 | 125 套 / 盒; 125 套 / 盒, 5 盒 / 箱 | 568/2638 |

96 孔 PCR 板系列 & 8 联排管系列适配表

| 仪器 | | 96 孔 PCR 板系列 | | | | | | 8 联排管系列 | | | |
|---------------------|-----------------|--------------|----------|----------|----------|----------|----------|----------|----------|----------|----------|
| | | 无裙边 | | 半裙边 | | | | | | | |
| 品牌 | 型号 | HL 96101 | HL 96200 | HL 96112 | HL 96111 | HL 96212 | HL 96210 | HL 08100 | HL 08101 | HL 08200 | HL 08201 |
| | | 低位白色 | 高位透明 | 低位磨砂 | 低位白色 | 高位磨砂 | 高位透明 | 低位透明 | 低位白色 | 高位透明 | 高位白色 |
| ABI | ViiA 7 | | ● | | | ★ | ● | | | ★ | ● |
| | ViiA 7 Fast | ● | | ★ | | | | ★ | ● | | |
| | 7000 | | ● | | | ★ | ● | | | ★ | ● |
| | 7300/7500 | | ● | | | ★ | ● | | | ★ | ● |
| | 7500 Fast | ● | | ★ | | | | ★ | ● | | |
| | 7900HT | | | | | ★ | ● | | | ★ | ● |
| | 7900HT Fast | ● | | ★ | | | | ★ | ● | | |
| | StepOne Plus | ● | | ★ | | | | ★ | ● | | |
| | QuantStudio 系列 | | ● | | | ★ | ● | | | ★ | ● |
| | Q3/Q5/Q6/Q7/Q12 | | | | | | | | | | |
| QuantStudio Fast 系列 | ● | | ★ | | | | | ★ | ● | | |
| Bio-Rad | IQ 系列 | | ● | | | ★ | ● | | | ● | ★ |
| | Opticon 2 系列 | ★ | | ● | ● | | | ● | ★ | | |
| | Mini Opticon 系列 | ★ | ● | | | | | ● | ★ | ● | ★ |
| | Chromo4 | ★ | ● | ● | ● | ● | ● | ● | ★ | ● | ★ |
| | CFX96 系列 | ★ | | ● | ★ | | | ● | ★ | | |
| Agilent | MX3000P | | ● | | | ★ | ● | | | ● | ★ |
| | MX3005P | | ● | | | ★ | ● | | | ● | ★ |
| Roche | LightCycler 96 | ● | | | ★ | | | ● | ★ | | |
| | LightCycler 480 | ● | | | ★ | | | ● | ★ | | |

★：推荐使用 ●：适配

备注：若 qPCR 仪配置了不同的托盘模块，则需测试耗材的适配性。

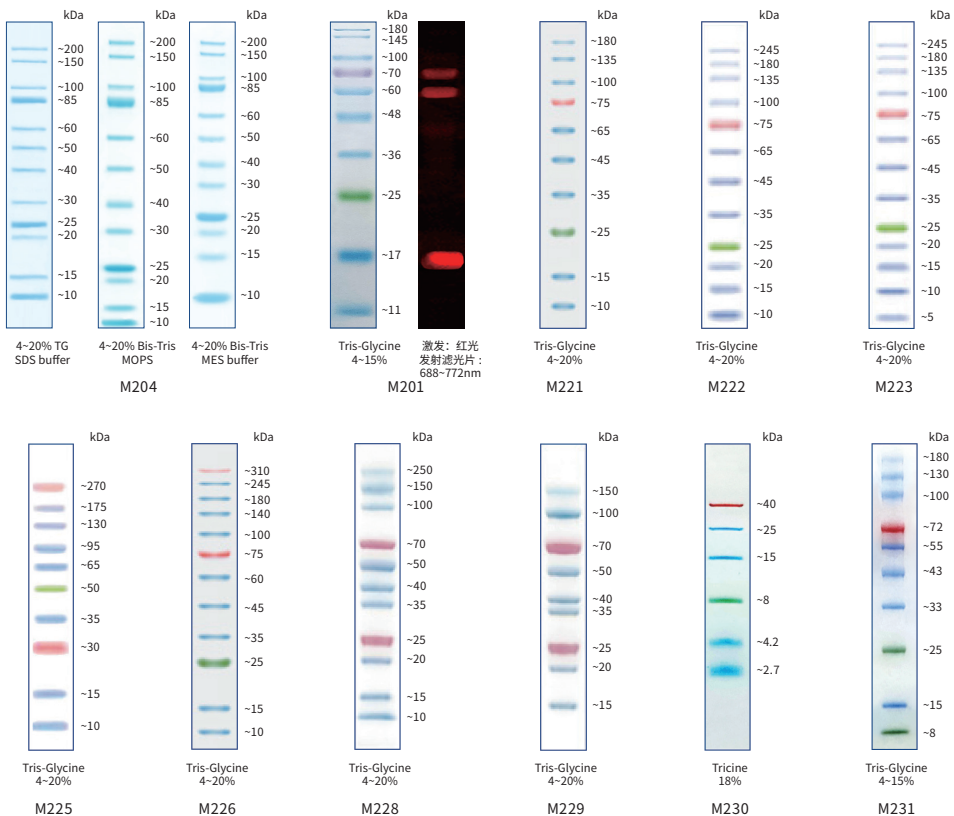


蛋白类试剂

蛋白 Marker

| 产品名称 | 产品特点 | 货号 | 规格 | 目录价(¥) |
|--|--|---------------|-----------------------------------|---------------|
| StarRuler Unstained Protein Marker (10-200kDa) | 非预染蛋白 Marker, 用于蛋白电泳时对目标条带精确定位 | M204-01/05/10 | 250 µl/250 µl × 5 | 98/468 |
| StarBright Color Prestained Protein Marker (11-180kDa) | 三色, 彩色预染蛋白 Marker (11-180kDa), 荧光 Marker | M201-01/05/10 | 250 µl/250 µl × 5/ 250 µl × 10 | 298/1338/2398 |
| HOT StarRuler Color Prestained Protein Marker (10-180kDa) | 三色, 彩色预染蛋白 Marker (10-180kDa) | M221-01/05/10 | 250 µl/250 µl × 5/ 250 µl × 10 | 393/1768/3143 |
| StarRuler Color Prestained Protein Marker (10-245kDa) | 三色, 彩色预染蛋白 Marker (10-245kDa) | M222-01/05/10 | 250 µl/250 µl × 5/ 250 µl × 10 | 560/2520/4480 |
| StarRuler Color Prestained Protein Marker (5-245kDa) | 三色, 彩色预染蛋白 Marker (5-245kDa) | M223-01/05/10 | 250 µl/250 µl × 5/ 250 µl × 10 | 580/2610/4640 |
| 星推荐 StarRuler Color Prestained Protein Marker (10-270kDa) | 三色, 彩色预染蛋白 Marker (10-270kDa) | M225-01/05/10 | 250 µl/250 µl × 5/ 250 µl × 10 | 510/2298/4086 |
| StarRuler Color Prestained Protein Marker (10-310kDa) | 三色, 彩色预染蛋白 Marker (10-310kDa) | M226-01/05/10 | 250 µl/250 µl × 5/ 250 µl × 10 | 650/2925/5200 |
| HOT StarRuler Color Prestained Protein Marker (10-250kDa) | 两色, 彩色预染蛋白 Marker (10-250kDa) | M228-01/05/10 | 250 µl/250 µl × 5/ 250 µl × 10 | 338/1368/2468 |
| StarRuler Color Prestained Protein Marker (15-150kDa) | 两色, 彩色预染蛋白 Marker (15-150kDa) | M229-01/05/10 | 250 µl/250 µl × 5/ 250 µl × 10 | 238/1068/1898 |
| StarRuler Color Low Range Protein Marker (2.7-40kDa) | 三色, 彩色预染蛋白 Marker (2.7-40kDa) | M230-01/05/10 | 250 µl/250 µl × 5/ 250 µl × 10 | 638/2998/5598 |
| 星推荐 StarRuler Color Prestained Protein Marker (8-180kDa) | 三色, 彩色预染蛋白 Marker (8-180kDa) | M231-01/05/10 | 250 µl/250 µl × 5/ 250 µl × 10 | 298/1438/2798 |

GenStar 蛋白 Markers



蛋白样品制备

| 产品名称 | 产品特点 | 货号 | 规格 | 目录价(¥) |
|--|-------------------------------------|---------|--------|--------|
| HOT RIPA Lysis Buffer (Strong) | RIPA 裂解液 (强), 含磷酸酶抑制剂 | E121-01 | 100 ml | 232 |
| RIPA Lysis Buffer (Medium) | RIPA 裂解液 (中), 含磷酸酶抑制剂 | E122-01 | 100 ml | 232 |
| RIPA Lysis Buffer (Mild) | RIPA 裂解液 (弱), 含磷酸酶抑制剂 | E123-01 | 100 ml | 232 |
| NP-40 Lysis Buffer | NP-40 裂解液, 含磷酸酶抑制剂 | E124-01 | 100 ml | 232 |
| Cell Lysis Buffer for Western & IP | Western 及免疫沉淀用细胞裂解液, 含磷酸酶抑制剂 | E125-01 | 100 ml | 232 |
| Cell Lysis Buffer for Western & IP (PI Plus) | Western 及免疫沉淀用细胞裂解液, 含磷酸酶抑制剂和蛋白酶抑制剂 | E127-01 | 100 ml | 338 |
| 100mM PMSF Solution | 100mM PMSF 溶液 | B111-01 | 10 ml | 178 |

蛋白定量

| 产品名称 | 产品特点 | 货号 | 规格 | 目录价(¥) |
|----------------------------------|------------------|------------|---------------|----------|
| HOT BCA Protein Assay Kit | BCA 蛋白质定量试剂盒 | E162-01/05 | 100 ml/500 ml | 285/1300 |
| Bradford Protein Assay Kit | Bradford 蛋白定量试剂盒 | E161-01 | 100 ml | 184 |

PAGE 凝胶制备试剂盒

| 产品名称 | 产品特点 | 货号 | 规格 | 目录价(¥) |
|--|---|---------|-----------------|--------|
| SDS-PAGE Gel Rapid Preparation Kit | PAGE 凝胶制备试剂盒, 可以制备各种浓度 PAGE 胶 | E158-00 | 50 块 (1.0 mm) | 198 |
| SDS-PAGE Gel Rapid Plus Preparation Kit (6%) | SDS-PAGE 凝胶超快速制备试剂盒 (6%), 可分离 70-300 kD 蛋白 | E159-06 | 125 块 (0.75 mm) | 298 |
| SDS-PAGE Gel Rapid Plus Preparation Kit (8%) | SDS-PAGE 凝胶超快速制备试剂盒 (8%), 可分离 50-250 kD 蛋白 | E159-08 | 125 块 (0.75 mm) | 298 |
| HOT SDS-PAGE Gel Rapid Plus Preparation Kit (10%) | SDS-PAGE 凝胶超快速制备试剂盒 (10%), 可分离 20-100 kD 蛋白 | E159-10 | 125 块 (0.75 mm) | 298 |
| HOT SDS-PAGE Gel Rapid Plus Preparation Kit (12%) | SDS-PAGE 凝胶超快速制备试剂盒 (12%), 可分离 15-60 kD 蛋白 | E159-12 | 125 块 (0.75 mm) | 298 |
| SDS-PAGE Gel Rapid Plus Preparation Kit (15%) | SDS-PAGE 凝胶超快速制备试剂盒 (15%), 可分离 8-40 kD 蛋白 | E159-15 | 125 块 (0.75 mm) | 298 |

电泳 - 考染

| 产品名称 | 产品特点 | 货号 | 规格 | 目录价(¥) |
|---|------------------------|------------|----------------|--------|
| 10× Tris-Glycine Electrophoresis Buffer | 10× Tris- 甘氨酸电泳缓冲液 | E152-01 | 500 ml | 92 |
| 20× MOPS Electrophoresis Buffer | 20× MOPS 电泳缓冲液 | E156-01 | 500 ml | 490 |
| 5× SDS-PAGE Plus Sample Buffer | 5× SDS-PAGE Plus 上样缓冲液 | E151-05/10 | 1 ml×5/1 ml×10 | 85/151 |
| 5× SDS-PAGE Sample Buffer | 5× SDS-PAGE 上样缓冲液 | E153-05/10 | 1 ml×5/1 ml×10 | 85/151 |
| Coomassie Blue G-250 Staining Buffer | 考马斯亮蓝 G-250 染色液 | E154-01 | 500 ml | 120 |
| Coomassie Blue Destaining Buffer | 考马斯亮蓝脱色液 | E155-01 | 500 ml | 98 |
| Coomassie Blue Fast Staining Buffer | 考马斯亮蓝快速染色液, 免脱色步骤 | E157-01 | 500 ml | 138 |



转膜 - 漂洗 - 抗体孵育

| 产品名称 | 产品特点 | 货号 | 规格 | 目录价 (¥) |
|--|--|------------|---------------|---------|
| 10×Wet Transfer Buffer for Western Blot | 10×Western Blot 转膜缓冲液 (湿转法) | E173-01 | 500 ml | 85 |
| 10×Fast Transfer Buffer for Western Blot | 10×Western Blot 快速转膜缓冲液, 10-40 min 完成转膜 | E174-01 | 500 ml | 98 |
| 10×Fast Transfer Buffer for Western Blot (SDS-free) | 10×Western Blot 快速转膜缓冲液 (无 SDS), 10-40 min 完成转膜 | E172-01 | 500 ml | 198 |
| 10×Membrane Blocking/Washing Buffer (TBS) | 10× 蛋白印迹膜封闭 / 漂洗液 (TBS) | E178-01 | 500ml | 107 |
| 10×Membrane Blocking/Washing Buffer (TBST) | 10× 蛋白印迹膜封闭 / 漂洗液 (TBST) | E175-01 | 500 ml | 95 |
| 10×Phosphate buffered saline with Tween-20 (PBST, pH7.4) | 10×PBST 缓冲液 (pH7.4) | E176-01 | 500 ml | 98 |
| 1×Phosphate buffered saline (for WB&IHC, pH7.4) | 1×PBS 缓冲液 (WB、IHC 专用, pH7.4) | E180-01 | 500 ml | 68 |
| Universal Antibody Dilution Buffer | 通用型抗体稀释液, 无蛋白, 确保极高的信噪比。 | E182-01/05 | 100 ml/500 ml | 138/498 |
| Western Primary Antibody Dilution Buffer(Protein free) | Western 无蛋白一抗稀释液, 无蛋白, 确保极高的信噪比。配制的一抗可以在 4°C 保存, 反复使用。 | E184-01 | 500 ml | 198 |
| Western Blot Rapid Blocking Buffer(Protein free) | Western 无蛋白快速封闭液, 无蛋白配方, 与抗体无交叉反应, 信噪比更高。尤其适合磷酸化特异抗体。 | E186-01 | 500 ml | 198 |
| HOT Membrane Stripping Buffer for Western Blot | 蛋白印迹膜再生液 | E177-01 | 500 ml | 234 |

ECL 化学发光蛋白检测

| 产品名称 | 产品特点 | 货号 | 规格 | 目录价 (¥) |
|--|-------------------|------------|------------------|----------|
| HOT StarSignal Chemiluminescent Assay Kit | 高敏, ECL 化学发光检测试剂盒 | E171-01/04 | 25 ml×2/100 ml×2 | 286/1030 |
| StarSignal Plus Chemiluminescent Assay Kit | 超敏, ECL 化学发光检测试剂盒 | E170-01/04 | 25 ml×2/100 ml×2 | 500/1799 |

通用试剂

| 产品名称 | 产品特点 | 货号 | 规格 | 目录价 (¥) |
|---------------------|--------|---------|--------|---------|
| Water Bath Cleaner | 水浴锅抑菌剂 | E187-01 | 100 ml | 98 |
| 1M TrisCl (pH6.8) | | B101-05 | 500 ml | 234 |
| 1.5M TrisCl (pH8.8) | | B102-05 | 500 ml | 315 |
| 10% SDS | | B121-01 | 100 ml | 89 |



细胞类产品

细胞转染

| 产品名称 | 产品特点 | 货号 | 规格 | 目录价 (¥) |
|--|-------------------------------------|---------------|-------------------------------|----------------|
| StarFect Transfection Reagent | 阳离子聚合物转染试剂, 转染效率高, 适用于 DNA 转染 | C101-01/05/10 | 0.5 ml/0.5 ml×5/ 0.5 ml×10 | 1010/4545/8080 |
| StarFect II Transfection Reagent | 阳离子聚合物转染试剂, 转染效率高, 适用于 DNA 和 RNA 转染 | C102-01/05/10 | 0.5 ml/0.5 ml×5/ 0.5 ml×10 | 1178/5302/9428 |
| StarFect Lip2000 Transfection Reagent | 脂质体转染试剂, 转染效率高, 适用于 DNA 和 RNA 转染 | C105-01/05/10 | 0.5 ml/0.5 ml×5/ 0.5 ml×10 | 798/3338/5998 |
| StarFect 293 Transient Transfection Medium | 适用于 293 细胞转染的培养基 | C104-1L | 1L | 800 |

★ 重磅推荐

慢病毒浓缩

| 产品名称 | 产品特点 | 货号 | 规格 | 目录价 (¥) |
|------------------------------------|--|------------|---------------|-----------|
| 5×Lentivirus Concentration Reagent | 阳离子聚合物, 使 Lentivirus 病毒颗粒沉淀、重悬, 提高病毒滴度 | C103-01/05 | 100 ml/500 ml | 1699/6796 |

细胞培养试剂

| 产品名称 | 产品特点 | 货号 | 规格 | 目录价 (¥) |
|--|----------------------------|---------|----------|---------|
| Red Blood Cell Lysis Buffer | 通过低渗条件使红细胞破裂, 用于从全血中分离有核细胞 | C111-01 | 120 ml | 138 |
| Trypsin-EDTA (0.25%), phenol red | 胰蛋白酶-EDTA (0.25%), 含酚红 | C112-01 | 100 ml | 68 |
| Trypsin-EDTA (0.25%), no phenol red | 胰蛋白酶-EDTA (0.25%), 不含酚红 | C113-01 | 100 ml | 68 |
| Trypsin (0.25%), phenol red | 胰蛋白酶 (0.25%), 含酚红 | C114-01 | 100 ml | 68 |
| Trypsin (0.25%), no phenol red | 胰蛋白酶 (0.25%), 不含酚红 | C115-01 | 100 ml | 68 |
| Fast Cell Freezing Medium (Serum/Protein-Free) | 无蛋白, 无血清, 用于细胞的冻存保护 | C117-01 | 100 ml | 398 |
| CCK-8 试剂盒 | Cell Counting Kit-8 | C118-01 | 500 T | 238 |
| | | C118-10 | 10×500 T | 1898 |

★ 新产品

★ 新产品



常用生化试剂

| 产品名称 | 产品特点 | 货号 | 规格 | 目录价(¥) |
|----------------------|------------------|---------------|--------|--------|
| Regular Agarose | 琼脂糖 | VA10252-100g | 100 g | 300 |
| Glycine | 甘氨酸 | VA13110-500g | 500 g | 167 |
| Glycine | 甘氨酸 | VA13110-1kg | 1 kg | 250 |
| Tryptone | 胰蛋白胨 | VA13182-500g | 500 g | 660 |
| Tris Base | 三羟甲基氨基甲烷 Tris- 碱 | VA15832-500g | 500 g | 335 |
| Tris Base | 三羟甲基氨基甲烷 Tris- 碱 | VA15832-1kg | 1 kg | 600 |
| Tris Base | 三羟甲基氨基甲烷 Tris- 碱 | VA15832-5kg | 5 kg | 2800 |
| Yeast Extract | 酵母提取物 | VA13657-500g | 500 g | 267 |
| Agar Powder | 琼脂粉 | VA15092-500g | 500 g | 333 |
| Proteinase K | 蛋白酶 K | VA40011-100mg | 100 mg | 238 |
| Proteinase K | 蛋白酶 K | VA40011-200mg | 200 mg | 438 |
| Proteinase K | 蛋白酶 K | VA40011-1g | 1 g | 1998 |
| Bovine Serum Albumin | 牛血清白蛋白 | VA10411-25g | 25 g | 300 |
| Bovine Serum Albumin | 牛血清白蛋白 | VA10411-50g | 50 g | 850 |
| Bovine Serum Albumin | 牛血清白蛋白 | VA10411-100g | 100 g | 992 |
| Bovine Serum Albumin | 牛血清白蛋白 | VA10411-500g | 500 g | 4667 |
| SDS | 十二烷基硫酸钠 | VA27033-500g | 500 g | 300 |
| SDS | 十二烷基硫酸钠 | VA27033-1kg | 1 kg | 500 |



原料酶类

酶原料

| 产品名称 | 产品特点 | 货号 | 规格 | 目录价(¥) |
|---|--|------|----|--------|
| Taq DNA Polymerase (Mg ²⁺ -free Buffer) | Taq 单酶形式, buffer 不含 Mg ²⁺ , 单独提供 MgCl ₂ 溶液 | A110 | 定制 | / |
| Taq DNA Polymerase (Mg ²⁺ -plus Buffer) | Taq 单酶形式, buffer 已预混 Mg ²⁺ | A111 | 定制 | / |
| Fast HSTaq DNA Polymerase | 抗体修饰热启动 Taq DNA 聚合酶 | A131 | 定制 | / |
| Fast HSTaq Pro DNA Polymerase | 抗抑制剂增强 Taq 酶, 抗体修饰 | A132 | 定制 | / |
| Power HSTaq DNA Polymerase | 化学修饰热启动 Taq DNA 聚合酶 | A135 | 定制 | / |
| Power HSTaq Pro DNA Polymerase | 抗抑制剂增强 Taq 酶, 化学修饰 | A136 | 定制 | / |
| SuperNova DNA Polymerase | 高保真酶, 80 倍 Taq 保真度, 15-30 s/kb, 适用于高 GC/ 超长片段 / 复杂模板 | A164 | 定制 | / |
|  SuperNova HTS DNA Polymerase | 100 倍 Taq 保真度, 20%-80%GC 片段均能高效扩增, 尤其适合 NGS | A169 | 定制 | / |
| StarScript III Reverse Transcriptase | StarScript III 反转录酶 | A231 | 定制 | / |
| Uracil DNA Glycosylase (UDG) | 尿嘧啶 DNA 糖基化酶 (UDG) | A340 | 定制 | / |
| Uracil DNA Glycosylase (UDG), heat-labile | 热敏尿嘧啶 DNA 糖基化酶 (UDG) | A341 | 定制 | / |
| RNase Inhibitor (RNaseIn) | 重组鼠源 RNase 抑制剂 | A218 | 定制 | / |
| Thermolabile dsDNase | 热敏型双链 DNA 酶, 在反转录前消化 RNA 样品中残留的 DNA | A219 | 定制 | / |
| T7 RNA polymerase(50 U/μl) | T7 RNA 聚合酶 (50 U/μl) | R101 | 定制 | / |
|  E.coli Poly(A) Polymerase | 加尾酶, E. coli Poly(A) 聚合酶 | R103 | 定制 | / |
| T4 DNA Ligase | T4 DNA 连接酶 | A501 | 定制 | / |
|  StarFast Dpn I | 内切酶, Dpn I | T201 | 定制 | / |
|  Taq DNA Ligase | Taq DNA 连接酶 | T202 | 定制 | / |
| Benzo Neburase | 全能核酸酶 | A511 | 定制 | / |
|  PNGase F | 肽 N- 糖苷酶 F | G201 | 定制 | / |

一步法 RT-PCR 预混液

| 产品名称 | 产品特点 | 货号 | 规格 | 目录价(¥) |
|--|-----------------------------------|------|----|--------|
| StarScript III One-Step RT-PCR Kit (Dye) | 一步法 RT-PCR 试剂盒, 含红色染料, PCR 后可直接电泳 | A235 | 定制 | / |
| StarScript III One-Step RT-PCR Kit | 一步法 RT-PCR 试剂盒, 无染料 | A236 | 定制 | / |

探针法多重 qPCR 预混液

| 产品名称 | 产品特点 | 货号 | 规格 | 目录价(¥) |
|---|--|--------|----|--------|
| 2× Multiplex Fast Probe Mix (UNG) | 多重探针法 qPCR 预混液, 预混 UDG 酶 | A392 | 定制 | / |
| 2× Taq Pro Multiplex Probe Mix (UNG, Low DNA) | 突变 Taq 酶, 更强的抗干扰能力, 超低 E.coli DNA 残留, 预混 UDG 酶 | A394LD | 定制 | / |

探针法多重 qRT-PCR 预混液

| 产品名称 | 产品特点 | 货号 | 规格 | 目录价(¥) |
|--|----------------------------------|------|----|--------|
| Multiplex One-Step qRT-PCR Probe Kit (UNG) | 多重一步法 qRT-PCR 试剂盒, 探针法, 预混 UDG 酶 | A388 | 定制 | / |
| Multiplex One-Tube qRT-PCR Probe Kit (UNG) | 全预混一管化预混液, 预混 UDG 酶 | A382 | 定制 | / |

甲基化 qPCR 预混液 (探针法)

| 产品名称 | 产品特点 | 货号 | 规格 | 目录价(¥) |
|---|-----------------------|------|----|--------|
|  2× RealStar MethylLight qPCR Mix | 适用于探针法甲基化分析的 qPCR mix | A371 | 定制 | / |

应用试剂盒

宿主残留检测

| 产品名称 | 产品特点 | 货号 | 规格 | 目录价 (¥) |
|---|-------------------------------|---------|-------|---------|
| E.coli Residue DNA Detection Kit (qPCR) | 用于生物制品中的 E.coli 残留 DNA 进行定量测定 | A801-10 | 100 T | 13698 |
| CHO Residue DNA Detection Kit (qPCR) | 用于生物制品中的 CHO 细胞残留 DNA 进行定量测定 | A802-10 | 100 T | 9998 |

动物疫病 / 人兽共患

| 产品名称 | 产品特点 | 货号 | 规格 | 目录价 |
|---------------------------------|--------------------|------------|------|-----|
| 布鲁氏杆菌核酸检测试剂盒 (荧光 PCR 法) | 单通道 (FAM) | AK010-05 | 50 T | 询价 |
| 旋毛虫核酸检测试剂盒 (荧光 PCR 法) | 单通道 (FAM) | AK012-05 | 50 T | 询价 |
| 锥虫核酸检测试剂盒 (荧光 PCR 法) | 单通道 (FAM) | AK014-05 | 50 T | 询价 |
| 尼帕病毒核酸检测试剂盒 (荧光 PCR 法) | 单通道 (FAM) | AR010-05 | 50 T | 询价 |
| 乙型脑炎病毒核酸检测试剂盒 (荧光 PCR 法) | 单通道 (FAM) | AR014-05 | 50 T | 询价 |
| 乙型脑炎病毒核酸检测试剂盒 (荧光 PCR 法, 含内参) | 双通道 (FAM, 内参 -VIC) | AR014IC-05 | 50 T | 询价 |
| 甲第鞭毛虫核酸检测试剂盒 (荧光 PCR 法) | 单通道 (FAM) | AR016-05 | 50 T | 询价 |
| 胎儿三毛滴虫核酸检测试剂盒 (荧光 PCR 法) | 单通道 (FAM) | AR018-05 | 50 T | 询价 |
| 盖塔病毒 / 乙型脑炎病毒核酸检测试剂盒 (荧光 PCR 法) | 单通道 (FAM) | AR022-05 | 50 T | 询价 |

动物疫病 / 牛羊马相关

| 产品名称 | 产品特点 | 货号 | 规格 | 目录价 |
|------------------------------------|-----------|----------|------|-----|
| 牛结节性皮肤病病毒核酸检测试剂盒 (荧光 PCR 法) | 单通道 (FAM) | AK801-05 | 50 T | 询价 |
| 羊传染性胸膜炎核酸检测试剂盒 (荧光 PCR 法) | 单通道 (FAM) | AK804-05 | 50 T | 询价 |
| 羊流产衣原体核酸检测试剂盒 (荧光 PCR 法) | 单通道 (FAM) | AK806-05 | 50 T | 询价 |
| 羊痘病毒 / 牛结节性皮肤病病毒核酸检测试剂盒 (荧光 PCR 法) | 单通道 (FAM) | AK808-05 | 50 T | 询价 |
| 牛病毒性腹泻病毒核酸检测试剂盒 (荧光 PCR 法) | 单通道 (FAM) | AR801-05 | 50 T | 询价 |
| 蓝舌病毒核酸检测试剂盒 (荧光 PCR 法) | 单通道 (FAM) | AR803-05 | 50 T | 询价 |
| 小反刍兽疫病毒核酸检测试剂盒 (荧光 PCR 法) | 单通道 (FAM) | AR805-05 | 50 T | 询价 |
| 非洲马瘟病毒核酸检测试剂盒 (荧光 PCR 法) | 单通道 (FAM) | AR808-05 | 50 T | 询价 |

动物疫病 / 禽相关

| 产品名称 | 产品特点 | 货号 | 规格 | 目录价 |
|-------------------------------------|-----------|----------|------|-----|
| 鸡传染性喉气管炎病毒核酸检测试剂盒 (荧光 PCR 法) | 单通道 (FAM) | AK901-05 | 50 T | 询价 |
| 鸡滑液囊支原体核酸检测试剂盒 (荧光 PCR 法) | 单通道 (FAM) | AK903-05 | 50 T | 询价 |
| 鸡毒支原体核酸检测试剂盒 (荧光 PCR 法) | 单通道 (FAM) | AK905-05 | 50 T | 询价 |
| 禽马立克氏病核酸检测试剂盒 (荧光 PCR 法) | 单通道 (FAM) | AK909-05 | 50 T | 询价 |
| 鸚鵡热衣原体核酸检测试剂盒 (荧光 PCR 法) | 单通道 (FAM) | AK911-05 | 50 T | 询价 |
| 禽流感病毒通用型核酸检测试剂盒 (荧光 PCR 法) | 单通道 (FAM) | AR901-05 | 50 T | 询价 |
| 禽流感病毒 H5/H7/H9 亚型核酸检测试剂盒 (荧光 PCR 法) | 单通道 (FAM) | AR903-05 | 50 T | 询价 |
| 新城疫病毒核酸检测试剂盒 (荧光 PCR 法) | 单通道 (FAM) | AR909-05 | 50 T | 询价 |
| 鸡传染性支气管炎病毒核酸检测试剂盒 (荧光 PCR 法) | 单通道 (FAM) | AR913-05 | 50 T | 询价 |
| 鸡传染性法氏囊病毒核酸检测试剂盒 (荧光 PCR 法) | 单通道 (FAM) | AR917-05 | 50 T | 询价 |

动物疫病 / 猪相关

| 产品名称 | 产品特点 | 货号 | 规格 | 目录价 |
|---|---|------------|------|-----|
| 适用于探针法 ASFV 检测—管化预混液 (单通道) | 单通道 (ASFV-FAM), 一管化 | AK105-05 | 50 T | 询价 |
| 适用于探针法 ASFV 检测—管化预混液 (单通道、高灵敏版) | 单通道 (ASFV-FAM), 一管化, 高敏版 | AK105HS-05 | 50 T | 询价 |
| 适用于探针法 ASFV 检测—管化预混液 (双通道、含内参) | 双通道 (ASFV-FAM、内源基因 -VIC), 一管化 | AK106-05 | 50 T | 询价 |
| 适用于探针法 ASFV 检测—管化预混液 (双通道、含内参、高灵敏版) | 双通道 (ASFV-FAM、内源基因 -VIC), 一管化, 高敏版 | AK106HS-05 | 50 T | 询价 |
| 适用于探针法 ASFV 缺失株快速鉴别预混液 (三通道、p72&MGF&CD2v) | 三通道 (P72-FAM、MGF360-14L-ROX、CD2v-VIC) | AK104-05 | 50 T | 询价 |
| 适用于探针法 ASFV 病毒快速鉴别预混液 (三通道、I 型 & II 型、含内参) | 三通道 (ASFV I 型 -FAM、ASFV II 型 -VIC、内源基因 -ROX) | AK111-05 | 50 T | 询价 |
| 猪圆环病毒 2 型核酸检测试剂盒 (荧光 PCR 法) | 单通道 (PCV2-FAM) | AK201-05 | 50 T | 询价 |
| 猪圆环病毒 3 型核酸检测试剂盒 (荧光 PCR 法) | 单通道 (PCV3-VIC) | AK205-05 | 50 T | 询价 |
| 猪圆环病毒 2/3 型核酸检测试剂盒 (荧光 PCR 法, 含内参) | 三通道 (PCV2-FAM、PCV3-VIC、内源基因 -Cy5) | AK208-05 | 50 T | 询价 |
| 猪伪狂犬病毒 (gE 基因) 核酸检测试剂盒 (荧光 PCR 法) | 单通道 (PRV-gE-VIC) | AK301-05 | 50 T | 询价 |
| 猪伪狂犬病毒 (gH 基因) 核酸检测试剂盒 (荧光 PCR 法) | 单通道 (PRV-gH-FAM) | AK307-05 | 50 T | 询价 |
| 猪伪狂犬病毒 (gH/gE 基因) 核酸检测试剂盒 (荧光 PCR 法, 含内参) | 三通道 (PRV-gH-FAM, PRV-gE-VIC、内源基因 -Cy5) | AK305-05 | 50 T | 询价 |
| 猪肺炎支原体核酸检测试剂盒 (荧光 PCR 法) | 单通道 (MHP-FAM) | AK401-05 | 50 T | 询价 |
| 猪肺炎支原体核酸检测试剂盒 (荧光 PCR 法, 含内参) | 双通道 (MHP-FAM、内源基因 -VIC) | AK402-05 | 50 T | 询价 |
| 猪细小病毒核酸检测试剂盒 (荧光 PCR 法) | 单通道 (PPV-FAM) | AK501-05 | 50 T | 询价 |
| 猪细小病毒核酸检测试剂盒 (荧光 PCR 法, 含内参) | 双通道 (PPV-FAM、内源基因 -VIC) | AK502-05 | 50 T | 询价 |
| 猪繁殖与呼吸综合征病毒 (北美型) 核酸检测试剂盒 (荧光 PCR 法) | 单通道 (PRRSV 美洲株 -FAM) | AR121-05 | 50 T | 询价 |
| 猪繁殖与呼吸综合征病毒 (北美型) 核酸检测试剂盒 (荧光 PCR 法, 含内参) | 双通道 (PRRSV 美洲株 -FAM, 内源基因 -VIC) | AR123-05 | 50 T | 询价 |
| 猪繁殖与呼吸综合征病毒 (北美型 / 欧洲型) 核酸检测试剂盒 (荧光 PCR 法, 含内参) | 三通道 (PRRSV 美洲株 -FAM, PRRSV 欧洲株 -ROX, 内源基因 -VIC) | AR125-05 | 50 T | 询价 |
| 猪流行性腹泻病毒核酸检测试剂盒 (荧光 PCR 法) | 单通道 (PEDV-FAM) | AR221-05 | 50 T | 询价 |
| 猪流行性腹泻病毒核酸检测试剂盒 (荧光 PCR 法, 含内参) | 双通道 (PEDV-FAM、内源基因 -VIC) | AR223-05 | 50 T | 询价 |
| 猪瘟病毒通用型核酸检测试剂盒 (荧光 PCR 法) | 单通道 (CSFV-FAM) | AR321-05 | 50 T | 询价 |
| 猪瘟病毒通用型核酸检测试剂盒 (荧光 PCR 法, 含内参) | 双通道 (CSFV-FAM、内源基因 -VIC) | AR323-05 | 50 T | 询价 |
| 猪口蹄疫病毒通用型核酸检测试剂盒 (荧光 PCR 法) | 单通道 (FMDV-FAM) | AR421-05 | 50 T | 询价 |
| 猪口蹄疫病毒通用型核酸检测试剂盒 (荧光 PCR 法, 含内参) | 双通道 (FMDV-FAM、内源基因 -VIC) | AR423-05 | 50 T | 询价 |
| 猪传染性胃肠炎病毒核酸检测试剂盒 (荧光 PCR 法) | 单通道 (TGEV-FAM) | AR521-05 | 50 T | 询价 |
| 猪传染性胃肠炎病毒核酸检测试剂盒 (荧光 PCR 法, 含内参) | 双通道 (TGEV-FAM、内源基因 -VIC) | AR523-05 | 50 T | 询价 |
| 猪轮状病毒 A 群通用型核酸检测试剂盒 (荧光 PCR 法) | 单通道 (PoRV-FAM) | AR621-05 | 50 T | 询价 |
| 猪轮状病毒 A 群通用型核酸检测试剂盒 (荧光 PCR 法, 含内参) | 双通道 (PoRV-FAM, 内源基因 -VIC) | AR623-05 | 50 T | 询价 |
| 猪德尔塔冠状病毒核酸检测试剂盒 (荧光 PCR 法) | 单通道 (PDCoV-FAM) | AR721-05 | 50 T | 询价 |
| 猪德尔塔冠状病毒核酸检测试剂盒 (荧光 PCR 法, 含内参) | 双通道 (PDCoV-FAM、内源基因 -VIC) | AR723-05 | 50 T | 询价 |
| 猪流行性腹泻病毒 / 传染性胃肠炎病毒 / 轮状病毒 A 群 / 德尔塔冠状病毒核酸检测试剂盒 (荧光 PCR 法) | 四通道 (PEDV-FAM/TGEV-VIC/PoRV-ROX/PDCoV-CY5) | AR724-05 | 50 T | 询价 |
| 猪德尔塔冠状病毒 / 传染性胃肠炎病毒 / 凝血性脑脊髓炎病毒 / 阿尔法冠状病毒核酸检测试剂盒 (荧光 PCR 法) | 四通道 (PDCoV-FAM/TGEV-VIC/HEV-ROX/PEAV-CY5) | AR725-05 | 50 T | 询价 |
| 猪内源基因阳性对照 | IPC 外参: 用于环境样本提取时添加, 可以监控提取和 PCR 的效果 | AK001-01 | 50 T | 询价 |

水生疫病 / 鱼相关

| 产品名称 | 产品特点 | 货号 | 规格 | 目录价 |
|-----------------------------------|-------------------------|----------|------|-----|
| 鲤科疱疹病毒 3 型核酸检测试剂盒 (荧光 PCR 法, 含内参) | 双通道 (KHV-FAM, 内参 -VIC) | AB001-05 | 50 T | 询价 |
| 鲤浮头病病毒核酸检测试剂盒 (荧光 PCR 法) | 单通道 (FAM) | AB002-05 | 50 T | 询价 |
| 鲤春病毒核酸检测试剂盒 (荧光 PCR 法, 含内参) | 双通道 (SVCV-FAM, 内参 -VIC) | AB051-05 | 50 T | 询价 |
| 鲑鱼甲病毒核酸检测试剂盒 (荧光 PCR 法) | 单通道 (FAM) | AB052-05 | 50 T | 询价 |
| 罗非鱼湖病毒核酸检测试剂盒 (荧光 PCR 法) | 单通道 (FAM) | AB053-05 | 50 T | 询价 |
| 草鱼出血热病毒核酸检测试剂盒 (荧光 PCR 法) | 单通道 (FAM) | AB054-05 | 50 T | 询价 |
| 病毒性神经坏死病毒核酸检测试剂盒 (荧光 PCR 法) | 单通道 (FAM) | AB055-05 | 50 T | 询价 |
| 病毒性出血败血症病毒核酸检测试剂盒 (荧光 PCR 法) | 单通道 (FAM) | AB056-05 | 50 T | 询价 |

水生疫病 / 虾蟹相关

| 产品名称 | 产品特点 | 货号 | 规格 | 目录价 |
|--|-------------------------|----------|------|-----|
| 白斑综合症病毒核酸检测试剂盒 (荧光 PCR 法, 含内参) | 双通道 (WSSV-FAM, 内参 -VIC) | AB101-05 | 50 T | 询价 |
| 虾细菌性肝胰腺炎核酸检测试剂盒 (荧光 PCR 法, 含内参) | 双通道 (FAM, 内参 -VIC) | AB102-05 | 50 T | 询价 |
| 十足目虹彩病毒核酸检测试剂盒 (荧光 PCR 法, 含内参) | 双通道 (DIV1-FAM, 内参 -VIC) | AB103-05 | 50 T | 询价 |
| 虾肝肠胞虫核酸检测试剂盒 (荧光 PCR 法) | 单通道 (FAM) | AB104-05 | 50 T | 询价 |
| 虾血细胞虹彩病毒核酸检测试剂盒 (荧光 PCR 法) | 单通道 (FAM) | AB105-05 | 50 T | 询价 |
| 蟹虾瘟 (蟹虾丝囊霉) 核酸检测试剂盒 (荧光 PCR 法) | 单通道 (FAM) | AB106-05 | 50 T | 询价 |
| 虾传染性肌肉坏死病毒核酸检测试剂盒 (荧光 PCR 法) | 单通道 (FAM) | AB151-05 | 50 T | 询价 |
| 对虾传染性皮下及造血组织坏死病毒核酸检测试剂盒 (荧光 PCR 法) | 单通道 (FAM) | AB152-05 | 50 T | 询价 |
| 桃拉病毒核酸检测试剂盒 (荧光 PCR 法) | 单通道 (FAM) | AB153-05 | 50 T | 询价 |
| 对虾黄头病病毒核酸检测试剂盒 (荧光 PCR 法) | 单通道 (FAM) | AB154-05 | 50 T | 询价 |
| 罗氏沼虾诺达病毒核酸检测试剂盒 (荧光 PCR 法) | 单通道 (FAM) | AB155-05 | 50 T | 询价 |
| 甲壳类急性肝胰腺坏死病 (AHPND) 核酸检测试剂盒 (荧光 PCR 法) | 单通道 (FAM) | AB156-05 | 50 T | 询价 |

水生疫病 / 其他水生动物

| 产品名称 | 产品特点 | 货号 | 规格 | 目录价 |
|--------------------------|-----------|----------|------|-----|
| 鲍鱼疱疹病毒核酸检测试剂盒 (荧光 PCR 法) | 单通道 (FAM) | AB201-05 | 50 T | 询价 |
| 蝶螺壶菌核酸检测试剂盒 (荧光 PCR 法) | 单通道 (FAM) | AB202-05 | 50 T | 询价 |
| 蛙壶菌核酸检测试剂盒 (荧光 PCR 法) | 单通道 (FAM) | AB203-05 | 50 T | 询价 |

植物疫病 / 大豆相关

| 产品名称 | 货号 | 规格 | 目录价 |
|--|----------|------|-----|
| 大豆北方茎溃疡病菌核酸检测试剂盒 (荧光 PCR 法) | AP301-05 | 50 T | 询价 |
| 大豆茎溃疡病菌 (南方 / 北方) 核酸检测试剂盒 (荧光 PCR 法) | AP302-05 | 50 T | 询价 |
| 大豆南方茎溃疡病菌核酸检测试剂盒 (荧光 PCR 法) | AP304-05 | 50 T | 询价 |
| 南美大豆猝死综合症病菌核酸检测试剂盒 (荧光 PCR 法) | AP306-05 | 50 T | 询价 |
| 大豆猝死综合症病菌 (南美 / 北美) 核酸检测试剂盒 (荧光 PCR 法) | AP307-05 | 50 T | 询价 |
| 北美大豆猝死综合症病菌核酸检测试剂盒 (荧光 PCR 法) | AP309-05 | 50 T | 询价 |
| 大豆茎褐腐病菌核酸检测试剂盒 (荧光 PCR 法) | AP311-05 | 50 T | 询价 |
| 大豆疫霉病菌核酸检测试剂盒 (荧光 PCR 法) | AP315-05 | 50 T | 询价 |

植物疫病 / 玉米相关

| 产品名称 | 货号 | 规格 | 目录价 |
|-----------------------------|----------|------|-----|
| 玉米晚枯病菌核酸检测试剂盒 (荧光 PCR 法) | AP201-05 | 50 T | 询价 |
| 玉米霜霉病菌核酸检测试剂盒 (荧光 PCR 法) | AP205-05 | 50 T | 询价 |
| 玉米褐条霜霉病菌核酸检测试剂盒 (荧光 PCR 法) | AP207-05 | 50 T | 询价 |
| 玉米内州萎蔫病菌核酸检测试剂盒 (荧光 PCR 法) | AP209-05 | 50 T | 询价 |
| 玉米细菌性枯萎病菌核酸检测试剂盒 (荧光 PCR 法) | AP211-05 | 50 T | 询价 |
| 玉米褪绿矮缩病毒核酸检测试剂盒 (荧光 PCR 法) | AP001-05 | 50 T | 询价 |
| 玉米褪绿斑驳病毒核酸检测试剂盒 (荧光 PCR 法) | AP005-05 | 50 T | 询价 |
| 玉米矮花叶病毒核酸检测试剂盒 (荧光 PCR 法) | AP007-05 | 50 T | 询价 |

植物疫病 / 其他植物

| 产品名称 | 货号 | 规格 | 目录价 |
|---------------------------------------|----------|------|-----|
| 南芥菜花叶病毒核酸检测试剂盒 (荧光 PCR 法) | AP060-05 | 50 T | 询价 |
| 番茄斑萎病毒核酸检测试剂盒 (荧光 PCR 法) | AP061-05 | 50 T | 询价 |
| 辣椒轻斑病毒核酸检测试剂盒 (荧光 PCR 法) | AP062-05 | 50 T | 询价 |
| 黄瓜绿斑驳花叶病毒核酸检测试剂盒 (荧光 PCR 法) | AP063-05 | 50 T | 询价 |
| 黄瓜花叶病毒核酸检测试剂盒 (荧光 PCR 法) | AP064-05 | 50 T | 询价 |
| 6 种马铃薯纺锤形块茎类病毒核酸检测试剂盒 (荧光 PCR 法, 含内参) | AP065-05 | 50 T | 询价 |
| 番茄褐色皱果病毒核酸检测试剂盒 (荧光 PCR 法) | AP066-05 | 50 T | 询价 |
| 马铃薯纺锤块茎类病毒通用型核酸检测试剂盒 (荧光 PCR 法) | AP067-05 | 50 T | 询价 |
| 南方番茄病毒核酸检测试剂盒 (荧光 PCR 法) | AP101-05 | 50 T | 询价 |
| 番茄环斑病毒核酸检测试剂盒 (荧光 PCR 法) | AP104-05 | 50 T | 询价 |
| 烟草环斑病毒核酸检测试剂盒 (荧光 PCR 法) | AP120-05 | 50 T | 询价 |
| 南方菜豆花叶病毒核酸检测试剂盒 (荧光 PCR 法) | AP122-05 | 50 T | 询价 |

食品安全 / 转基因相关

| 产品名称 | 货号 | 规格 | 目录价 |
|---|----------|------|-----|
| 转基因植物 CaMV35S 启动子基因检测试剂盒 (荧光 PCR 法) | AF101-05 | 50 T | 询价 |
| 转基因植物 CaMV35S 终止子基因检测试剂盒 (荧光 PCR 法) | AF103-05 | 50 T | 询价 |
| 转基因植物 NOS 终止子基因检测试剂盒 (荧光 PCR 法) | AF105-05 | 50 T | 询价 |
| 转基因植物 PAT 基因检测试剂盒 (荧光 PCR 法) | AF107-05 | 50 T | 询价 |
| 转基因植物 PinII 终止子基因检测试剂盒 (荧光 PCR 法) | AF109-05 | 50 T | 询价 |
| 转基因植物 E9 终止子基因检测试剂盒 (荧光 PCR 法) | AF111-05 | 50 T | 询价 |
| 转基因植物 RbcS4 启动子基因检测试剂盒 (荧光 PCR 法) | AF113-05 | 50 T | 询价 |
| 转基因植物 DP305423 3' 边界序列基因检测试剂盒 (荧光 PCR 法) | AF115-05 | 50 T | 询价 |
| 转基因植物 CV127 5' 边界序列基因检测试剂盒 (荧光 PCR 法) | AF117-05 | 50 T | 询价 |
| 转基因植物 DAS40278 5' 边界序列基因检测试剂盒 (荧光 PCR 法) | AF119-05 | 50 T | 询价 |
| 转基因植物 BAR 基因检测试剂盒 (荧光 PCR 法) | AF121-05 | 50 T | 询价 |
| 转基因植物 GOX 基因检测试剂盒 (荧光 PCR 法) | AF123-05 | 50 T | 询价 |
| 转基因植物 CRYIA(c) 基因检测试剂盒 (荧光 PCR 法) | AF125-05 | 50 T | 询价 |
| 转基因植物 CP4-EPSPS 基因检测试剂盒 (荧光 PCR 法) | AF127-05 | 50 T | 询价 |
| 转基因植物 pFMV35S 基因检测试剂盒 (荧光 PCR 法) | AF129-05 | 50 T | 询价 |
| 转基因植物 pCaMV35S/tE9/tNOS/pRbcS4/tCaMV35S/PAT/PinIII 基因检测试剂盒 (荧光 PCR 法) | AF131-05 | 50 T | 询价 |
| 转基因植物 pCaMV35S/pFMV35S/tNOS/NPTII 基因检测试剂盒 (荧光 PCR 法) | AF133-05 | 50 T | 询价 |
| 人 α -乳清蛋白 hLALBA 基因检测试剂盒 (荧光 PCR 法) | AF135-05 | 50 T | 询价 |
| 人乳铁蛋白 hLTF 基因检测试剂盒 (荧光 PCR 法) | AF137-05 | 50 T | 询价 |



食品安全 / 细菌真菌相关

| 产品名称 | 货号 | 规格 | 目录价 |
|--|----------|------|-----|
| 阪崎肠杆菌（克罗诺杆菌属）核酸检测试剂盒（荧光 PCR 法） | AF201-05 | 50 T | 询价 |
| 肉毒杆菌 A 型核酸检测试剂盒（荧光 PCR 法） | AF203-05 | 50 T | 询价 |
| 肉毒杆菌 B 型核酸检测试剂盒（荧光 PCR 法） | AF205-05 | 50 T | 询价 |
| 肉毒杆菌 E 型核酸检测试剂盒（荧光 PCR 法） | AF208-05 | 50 T | 询价 |
| 肉毒杆菌 F 型核酸检测试剂盒（荧光 PCR 法） | AF210-05 | 50 T | 询价 |
| 肉毒杆菌 A/B/E/F 型核酸检测试剂盒（荧光 PCR 法） | AF213-05 | 50 T | 询价 |
| 李斯特菌核酸检测试剂盒（荧光 PCR 法） | AF215-05 | 50 T | 询价 |
| 沙门氏菌（非伤寒）核酸检测试剂盒（荧光 PCR 法） | AF217-05 | 50 T | 询价 |
| 副溶血性弧菌核酸检测试剂盒（荧光 PCR 法） | AF219-05 | 50 T | 询价 |
| 金黄色葡萄球菌核酸检测试剂盒（荧光 PCR 法） | AF223-05 | 50 T | 询价 |
| 志贺氏菌核酸检测试剂盒（荧光 PCR 法） | AF225-05 | 50 T | 询价 |
| 霍乱弧菌通用核酸检测试剂盒（荧光 PCR 法） | AF227-05 | 50 T | 询价 |
| 霍乱弧菌通用/O1 群/O139 群/CTX 基因核酸检测试剂盒（荧光 PCR 法） | AF229-05 | 50 T | 询价 |
| 小肠叶尔森菌核酸检测试剂盒（荧光 PCR 法） | AF231-05 | 50 T | 询价 |
| 空肠弯曲菌核酸检测试剂盒（荧光 PCR 法） | AF233-05 | 50 T | 询价 |
| 产黄曲霉素真菌核酸检测试剂盒（荧光 PCR 法） | AF235-05 | 50 T | 询价 |
| 溶血性链球菌核酸检测试剂盒（荧光 PCR 法） | AF239-05 | 50 T | 询价 |
| 产气荚膜梭菌通用型核酸检测试剂盒（荧光 PCR 法） | AF241-05 | 50 T | 询价 |
| 产气荚膜梭菌（产 α/β 毒素）核酸检测试剂盒（荧光 PCR 法） | AF242-05 | 50 T | 询价 |
| 产气荚膜梭菌（产 α 毒素）核酸检测试剂盒（荧光 PCR 法） | AF244-05 | 50 T | 询价 |
| 产气荚膜梭菌（产 β 毒素）核酸检测试剂盒（荧光 PCR 法） | AF246-05 | 50 T | 询价 |
| 产气荚膜梭菌（产 ϵ 毒素）核酸检测试剂盒（荧光 PCR 法） | AF248-05 | 50 T | 询价 |
| 创伤弧菌核酸检测试剂盒（荧光 PCR 法） | AF252-05 | 50 T | 询价 |
| 溶藻弧菌核酸检测试剂盒（荧光 PCR 法） | AF254-05 | 50 T | 询价 |
| 副溶血性弧菌 / 溶藻弧菌 / 创伤弧菌核酸检测试剂盒（荧光 PCR 法） | AF256-05 | 50 T | 询价 |
| 大肠杆菌 O157:H7 核酸检测试剂盒（荧光 PCR 法） | AF257-05 | 50 T | 询价 |

食品安全 / 病毒相关

| 产品名称 | 货号 | 规格 | 目录价 |
|-----------------------------|----------|------|-----|
| 诺如病毒 GI 型核酸检测试剂盒（荧光 PCR 法） | AF001-05 | 50 T | 询价 |
| 诺如病毒 GII 型核酸检测试剂盒（荧光 PCR 法） | AF003-05 | 50 T | 询价 |
| 诺如病毒 GIV 型核酸检测试剂盒（荧光 PCR 法） | AF005-05 | 50 T | 询价 |

物种鉴定 / 物种鉴定

| 产品名称 | 货号 | 规格 | 目录价 |
|-------------------------|----------|------|-----|
| 亚洲型舞毒蛾核酸检测试剂盒（荧光 PCR 法） | AI100-05 | 50 T | 询价 |
| 桔小实蝇核酸检测试剂盒（荧光 PCR 法） | AI002-05 | 50 T | 询价 |

物种鉴定 / 成分鉴定

| 产品名称 | 货号 | 规格 | 目录价 |
|----------------------------|----------|------|-----|
| 罂粟成分核酸检测试剂盒（荧光 PCR 法） | AI100-05 | 50 T | 询价 |
| 芒果成分核酸检测试剂盒（荧光 PCR 法） | AI101-05 | 50 T | 询价 |
| 杏仁成分核酸检测试剂盒（荧光 PCR 法） | AI102-05 | 50 T | 询价 |
| 山楂成分核酸检测试剂盒（荧光 PCR 法） | AI103-05 | 50 T | 询价 |
| 梨成分核酸检测试剂盒（荧光 PCR 法） | AI104-05 | 50 T | 询价 |
| 桃成分核酸检测试剂盒（荧光 PCR 法） | AI106-05 | 50 T | 询价 |
| 香蕉成分核酸检测试剂盒（荧光 PCR 法） | AI108-05 | 50 T | 询价 |
| 核桃成分核酸检测试剂盒（荧光 PCR 法） | AI105-05 | 50 T | 询价 |
| 花生成分核酸检测试剂盒（荧光 PCR 法） | AI107-05 | 50 T | 询价 |
| 杏仁成分核酸检测试剂盒（荧光 PCR 法） | AI109-05 | 50 T | 询价 |
| 芝麻成分核酸检测试剂盒（荧光 PCR 法） | AI110-05 | 50 T | 询价 |
| 黄牛源性成分核酸检测试剂盒（荧光 PCR 法） | AI111-05 | 50 T | 询价 |
| 牦牛源性成分核酸检测试剂盒（荧光 PCR 法） | AI112-05 | 50 T | 询价 |
| 水牛源性成分核酸检测试剂盒（荧光 PCR 法） | AI113-05 | 50 T | 询价 |
| 山羊源性成分核酸检测试剂盒（荧光 PCR 法） | AI114-05 | 50 T | 询价 |
| 绵羊源性成分核酸检测试剂盒（荧光 PCR 法） | AI115-05 | 50 T | 询价 |
| 骆驼源性成分核酸检测试剂盒（荧光 PCR 法） | AI116-05 | 50 T | 询价 |
| 水貂源性成分核酸检测试剂盒（荧光 PCR 法） | AI117-05 | 50 T | 询价 |
| 鼠源性成分核酸检测试剂盒（荧光 PCR 法） | AI118-05 | 50 T | 询价 |
| 猪源性成分核酸检测试剂盒（荧光 PCR 法） | AI119-05 | 50 T | 询价 |
| 驴 / 马 / 骡核酸检测试剂盒（荧光 PCR 法） | AI120-05 | 50 T | 询价 |




新产品 /
畅销产品介绍



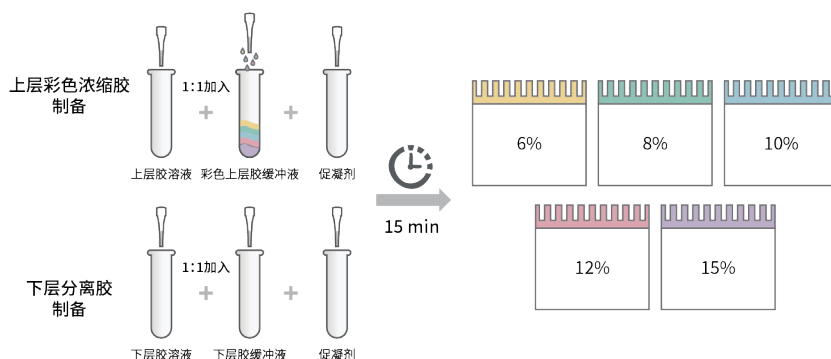
蛋白凝胶制备新品

SDS-PAGE Gel Rapid Plus Preparation Kit (6%) (E159-06)
 SDS-PAGE Gel Rapid Plus Preparation Kit (8%) (E159-08)
 SDS-PAGE Gel Rapid Plus Preparation Kit (10%) (E159-10)
 SDS-PAGE Gel Rapid Plus Preparation Kit (12%) (E159-12)
 SDS-PAGE Gel Rapid Plus Preparation Kit (15%) (E159-15)

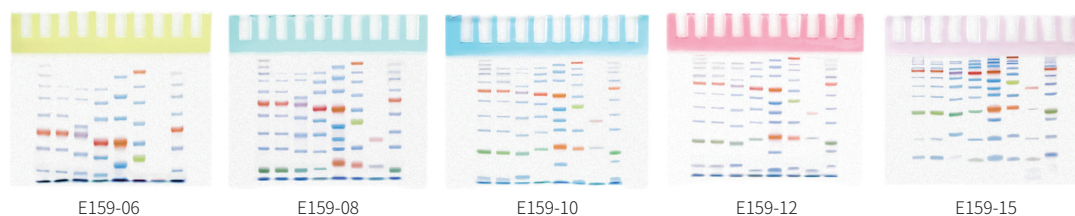
产品特点

-  **操作简便：** 无需复杂配置，1:1 添加即可
-  **彩色示踪：** 5 种不同示踪染料，便于区分不同凝胶
-  **条带清晰：** 电泳效果可靠，小分子蛋白条带更清晰
-  **制胶快速：** 动手操作 2 min，无需液封下层胶
-  **使用安全：** 无需使用 TEMED，操作安全无异味

制备流程



性能数据



从左到右货号分别为：M226、M221、M201、M231、M228、M225、M230、M223
 使用 E159 不同浓度产品制备 1.0 mm 凝胶，加入 GenStar 蛋白 marker 进行电泳，结果显示，每个浓度下条带均清晰可见。

RNA 提取

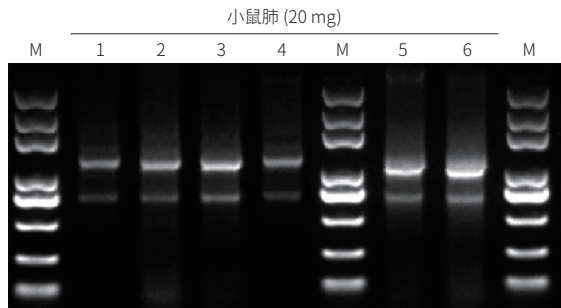
StarSpin Animal RNA Kit (P133)

产品特点

-  **通用性强：**可从培养细胞和动物组织中提取总 RNA
-  **简便快捷：**操作简单，可在 1h 内获得高纯度总 RNA
-  **安全无毒：**无需使用苯酚和氯仿等有机溶剂
-  **稳定可靠：**提取的 RNA 纯度高，可直接用于 RT-PCR、Northern blot、构建 cDNA 文库等各种分子生物学实验

性能数据




提取效率高



M: StarMarker D2000 Plus
1、2: GenStar P133
3、4: Company A
5、6: GenStar P132 (已停产)

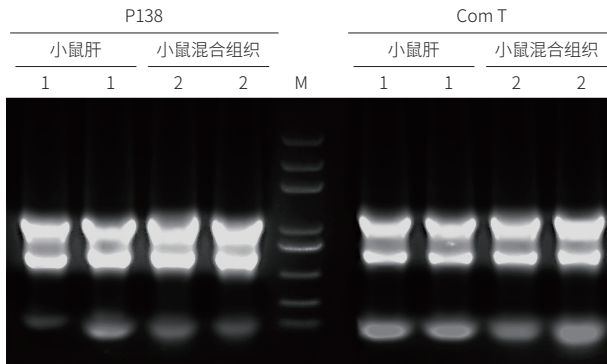
StarSpin Small RNA Kit (P138)

产品特点

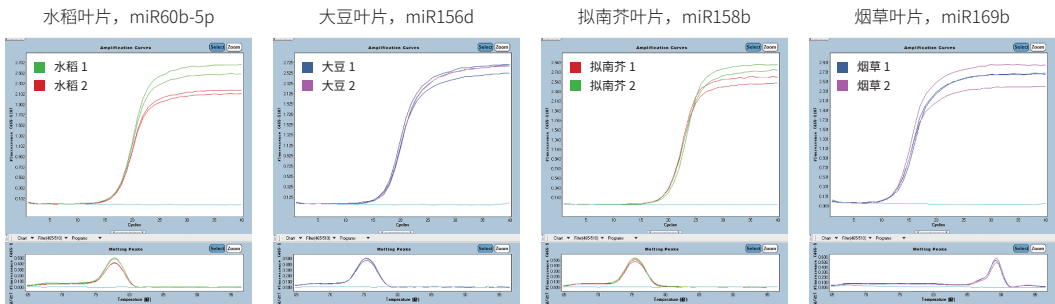
-  **适用范围广：**适用于动物组织、植物组织和培养细胞等多种类型的样本
-  **简便高效：**操作简单，一般可在 1h 内获得高纯度 RNA
-  **功能全面：**快速提取包含 small RNA 的总 RNA，可应用于 RT-PCR、Northern blot、dot blot、polyA 筛选、体外翻译、RNase 保护实验和分子克隆等一系列操作

性能数据

适用范围广好且提取性能优异








GenStar P138 可对小鼠不同器官组织进行 RNA 提取，提取的 RNA 完整性高，得率高



使用 P138 提取的植物组织叶片，经 A 法逆转录获得的 cDNA，进行 qPCR 检测，结果理想

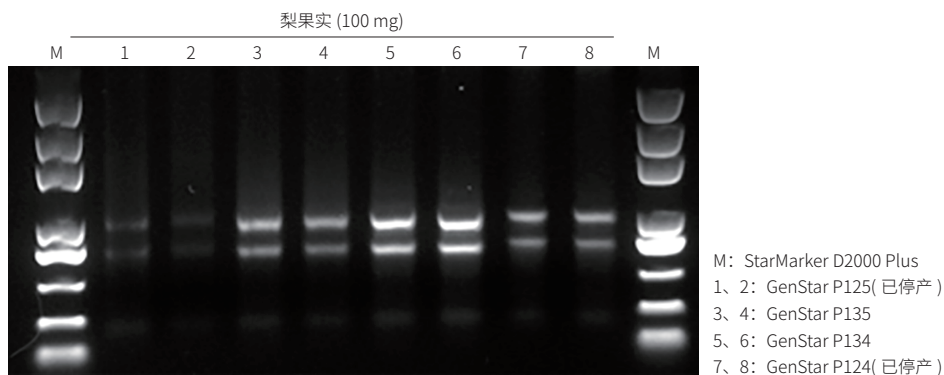
StarSpin Plant RNA Kit (Polysaccharides & Polyphenols-rich) (P134)

产品特点

-  **兼容性强：**适用于各种植物样本，尤其是富含多糖多酚类植物样本总 RNA 提取
-  **简便快捷：**操作简单快速，可在 1h 内获得优质 RNA
-  **安全无毒：**无需使用苯酚和氯仿等有机溶剂
-  **提纯度高：**可高效去除蛋白质、基因组 DNA 和其它杂质污染
-  **应用广泛：**高纯度 RNA 可直接用于 RT-PCR、Northern blot、Real Time PCR、构建 cDNA 文库等实验

性能数据





提取效率高



DNA 提取

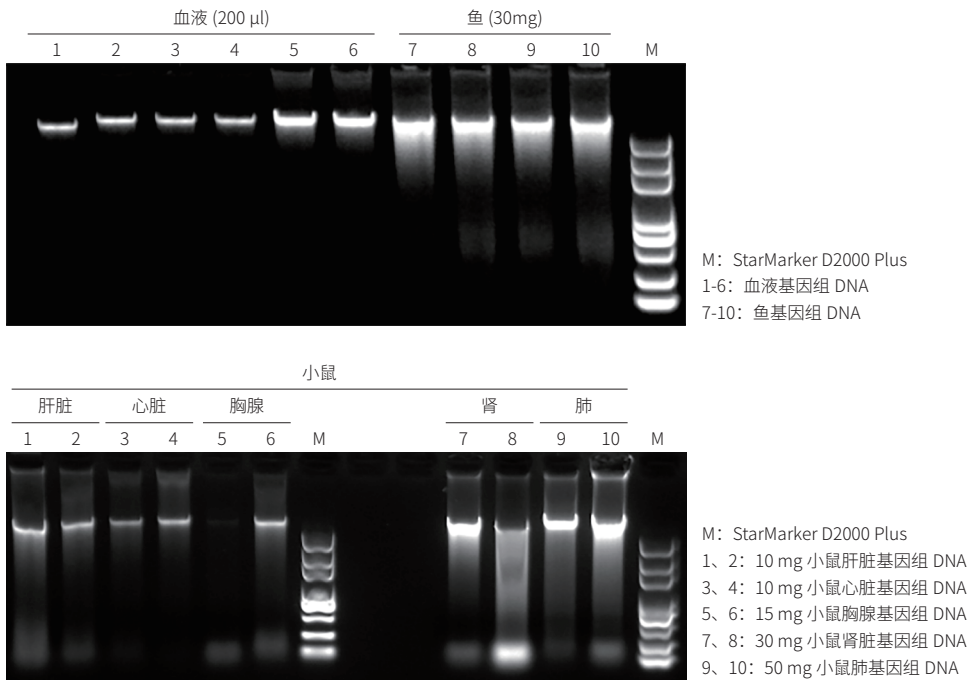
StarSpin Universal DNA Kit (D133)

产品特点

-  **通用性强**: 可从新鲜或冷冻的动物组织、细胞、血液等样品中提取高纯度 DNA
-  **简便快捷**: 操作简单, 可在 1h 内获得高纯度基因组 DNA
-  **安全无毒**: 无需使用苯酚和氯仿等有机溶剂
-  **稳定可靠**: 提取的 DNA 纯度高, 可应用于酶切、PCR、文库构建、qPCR 和分子标记等下游实验

性能数据






提取效率高



高保真 PCR

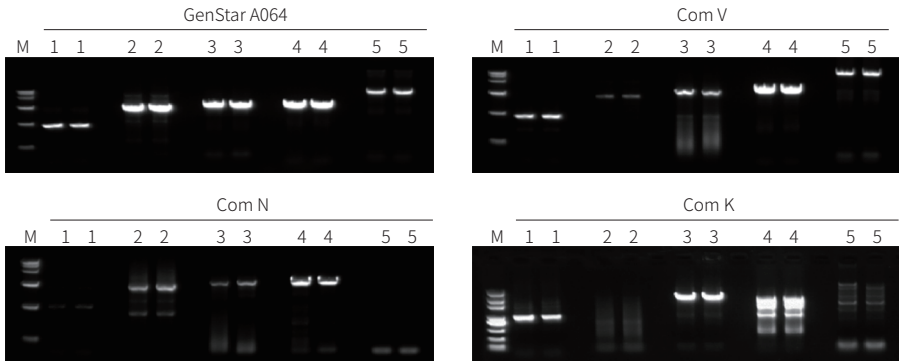
2 × SuperNova PCR Mix (Dye) (A064)

产品特点

-  **保真度超高：**保真度是 *Taq* DNA 聚合酶的 80 倍
-  **延伸速度快：**延伸速度约为 15-30 s/kb，不超过 1 min/kb
-  **扩增效率高：**对高 GC 含量、具有复杂二级结构的模板、长片段均能高效扩增
-  **模板适用性好：**适用于不同种属来源的 gDNA、cDNA 和含同源臂片段的扩增
-  **应用范围广：**适用于基因克隆、高通量测序、定点突变、SNP 分析等

性能数据

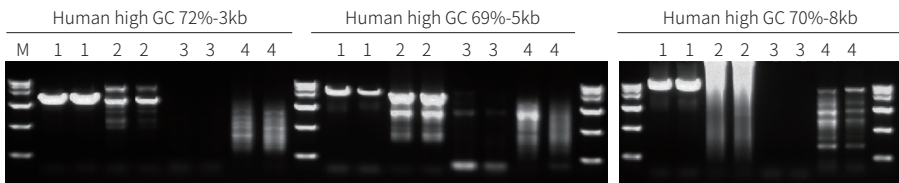
高效扩增不同 gDNA 模板



1: 100 ng Mouse gDNA-1 kb (GC conten 68%) 模板 3: 100 ng Mouse gDNA-3 kb 模板 5: 100 ng Mouse gDNA-10 kb 模板
 2: 100 pg 水稻 gDNA-2.4 kb (GC conten 72%) 模板 4: 1 ng E.coli gDNA-3 kb 模板 M: StarMarker D2000 Plus

以小鼠基因组、水稻基因组、E.coli 基因组为模板，分别扩增不同长度的目标片段。结果显示，GenStar A064 适用于各类简单模板或者复杂模板的扩增。对于植物模板扩增成功率及特异性优于 Com V、Com N、Com K。

高 GC 片段扩增能力强






M: StarMarker D2000 Plus 1: GenStar A064 2: Com V 3: Com N 4: Com T

GenStar A064 适用于复杂基因组模板和高 GC 模板的扩增，扩增成功率及特异性均优于 Com V、Com N、Com T。

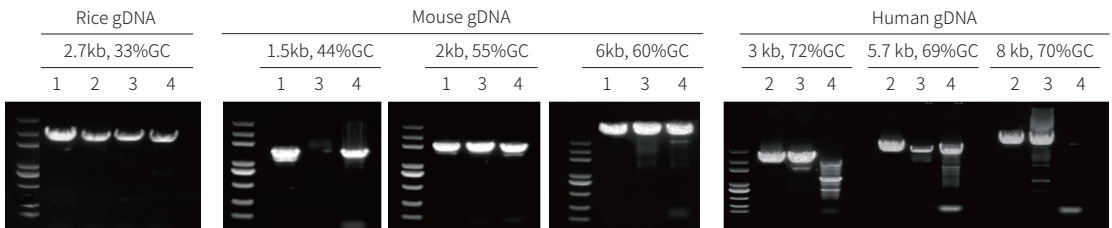
2×SuperNova Max PCR Mix (Dye) (A066) 2×SuperNova Max PCR Mix (A067)

产品特点

-  **保真度高：**保真度是 *Taq* DNA Polymerase 的 80 倍
-  **延伸速度快：**延伸速度约为 15-30 s/kb，不超过 1 min/kb
-  **长片段扩增能力：**对于 λ DNA 模板有效扩增长度 20 kb
-  **良好的 GC 兼容性：**22%-80%GC 含量的目的片段均可良好扩增
-  **模板适应性广：**适应不同来源的模板，对于高 GC 或长片段的扩增，可加入 PCR Enhancer

性能数据

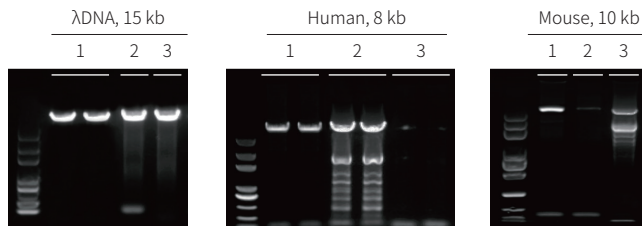
良好的 GC 兼容性



1: GenStar A066; 2: GenStar A066+PCR Enhancer; 3: Com G; 4: Com V

以 Rice、Mouse、Human gDNA 为模板，使用 GenStar A066 和 Com G、Com V 分别扩增不同 GC 含量的目标片段，结果显示，GenStar A066 对大部分目的片段均可良好扩增且优于 Com G、Com V。

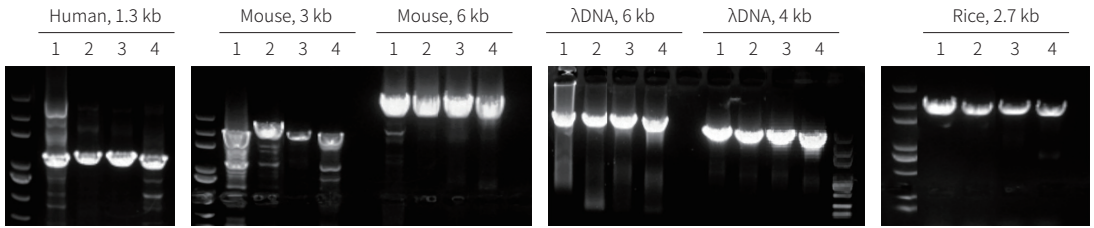
模板适应性广、长片段扩增结果优异



1: GenStar A066 + PCR Enhancer 2: Com G 3: Com V

以 λ DNA、Human gDNA、Mouse gDNA 为模板，使用 GenStar A066、Com G 和 Com V 分别扩增 15kb、8kb、10kb 的片段。GenStar A066 对不同模板均可良好扩增且长片段扩增结果优于 Com G、Com V。

部分基因加入 PCR Enhancer 后可明显提升扩增特异性



1: GenStar A066 2: GenStar A066 + PCR Enhancer 3: GenStar A064 4: Com V

以 Human、Mouse、Rice gDNA 和 λDNA 为模板，使用 GenStar A066、GenStar A066+ PCR Enhancer、GenStar A064、Com V 分别扩增不同目标片段。结果显示，GenStar A066 适用于不同样本扩增，部分基因在添加 PCR Enhancer 后，可明显提升扩增特异性。

2× SuperNova HTS PCR Mix (A069)

产品特点

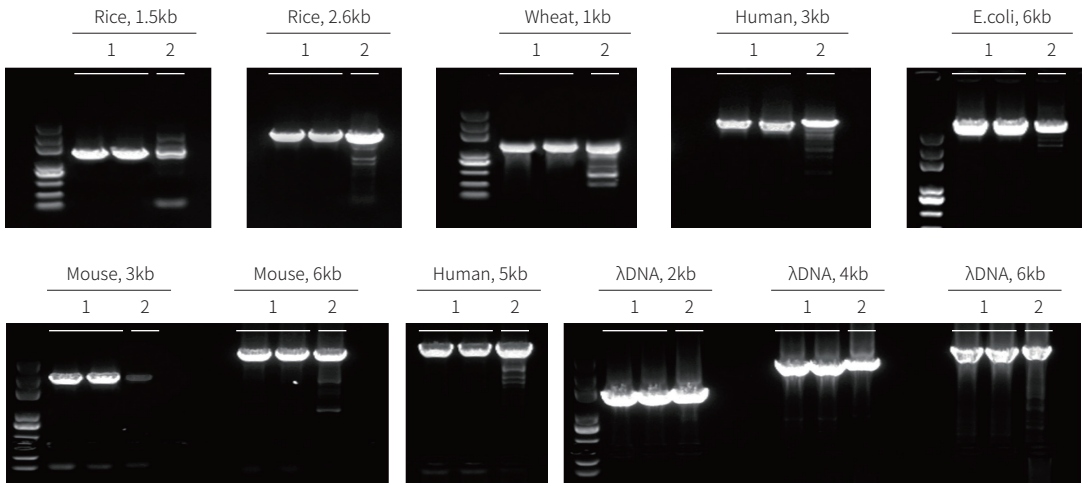
保真度高：保真度约是 *Taq* DNA Polymerase 的 100 倍

扩增效率高：对 DNA 模板的亲合力高，扩增效率高

模板偏好性低：20%-80%GC 含量的目的片段均可良好扩增，适用于 NGS 文库扩增和超保真 PCR 扩增，如基因克隆、定点突变等

性能数据

不同物种来源模板、不同长度片段扩增效果好



1: GenStar A069 2: Com K


以不同物种来源、不同长度片段的 DNA 为模板，使用 GenStar A069 与 Com K 进行扩增。结果显示，GenStar A069 对不同物种来源、不同长度片段的扩增效果好，优于 Com K。


高效 PCR

2×UltraTaq PCR StarMix (Dye) (A019)

产品特点

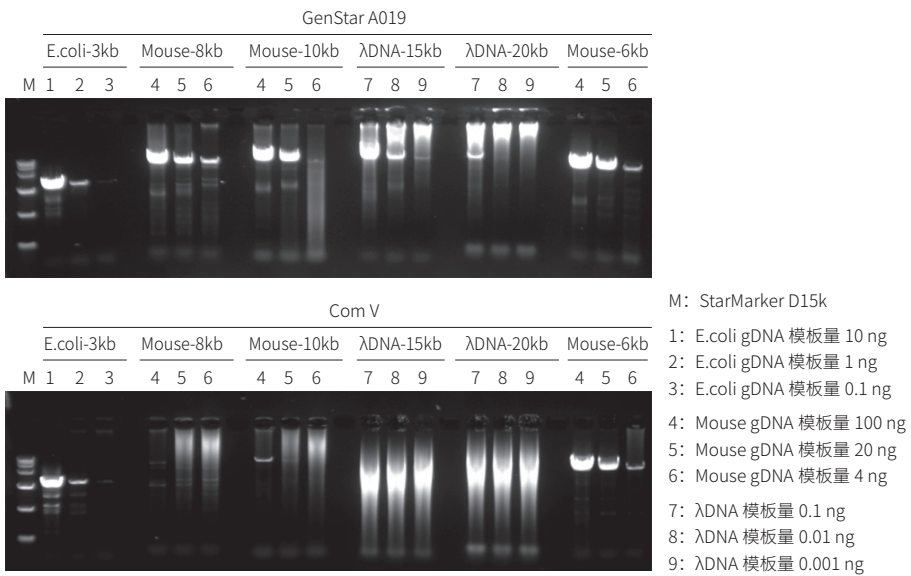
 **扩增片段更长：**以质粒和 λDNA 为模板的扩增长度可达 20 kb；基因组模板的扩增长度可达 10 kb

 **扩增性能更强：**适用于复杂基因组模板、高 GC 模板及较长片段的扩增

 **保真性更高：**保真性相当于普通 *Taq* DNA Polymerase 的 10 倍

性能数据

长片段扩增性能优异







以 E.coli gDNA、Mouse gDNA 和 λDNA 为模板扩增 3-20 kb 片段，A019 均能高效扩增，且效果优于 Com V

鼠尾直扩试剂盒

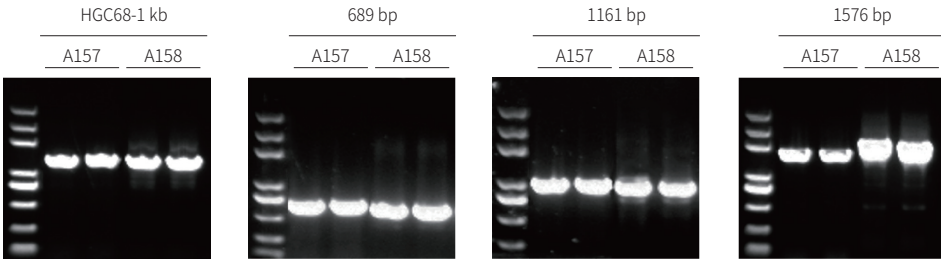
StarDirect Mouse HS PCR Kit (A157)

产品特点

-  **超简操作:** 裂解产物无需纯化, 直接作为模板进行 PCR 扩增
-  **特异性高:** 采用抗体修饰热启动酶, 可有效抑制非特异扩增
-  **多重反应:** 可有效完成 1-4 重 PCR 扩增
-  **适用性强:** 广泛适用于简单模板或复杂模板的扩增

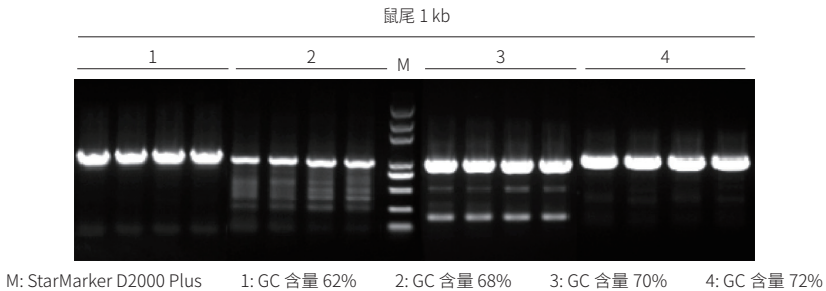
性能数据

特异性强



以鼠尾裂解液为模板, 分别使用 A157 和 A158 扩增不同长度 DNA 片段。结果显示, A157 和 A158 扩增效率均很高, A157 较 A158 扩增特异性更强

优异的复杂模板扩增性能







M: StarMarker D2000 Plus 1: GC 含量 62% 2: GC 含量 68% 3: GC 含量 70% 4: GC 含量 72%

以鼠尾裂解液为模板, 使用 A157 扩增高 GC 含量目的片段, 结果显示, A157 可高效扩增高 GC 含量片段

鼠尾直扩试剂盒

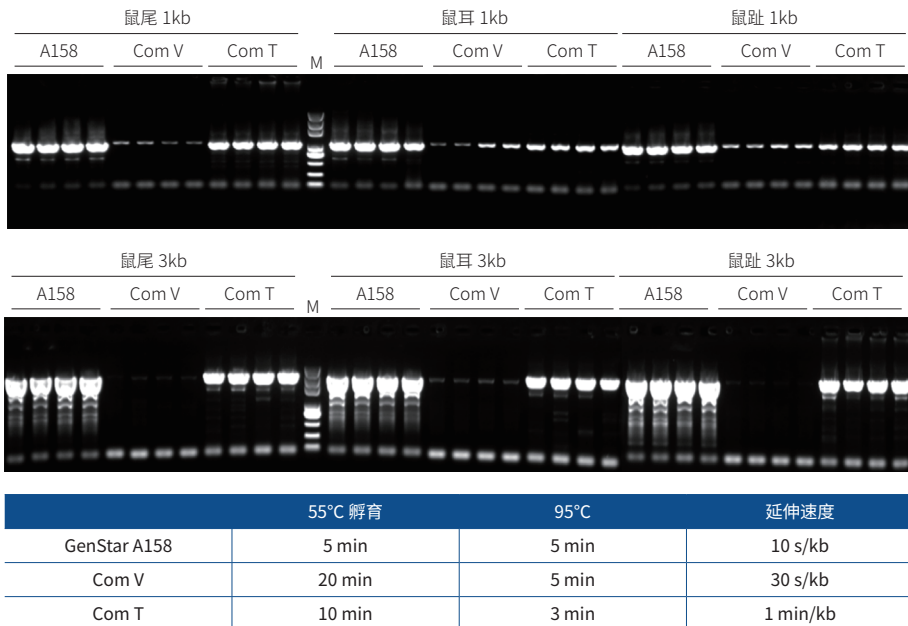
StarDirect Mouse HS HiFi PCR Kit (A158)

产品特点

-  **操作简便:** 裂解产物无需纯化，直接作为模板进行 PCR 扩增
-  **超省时间:** 超强裂解液 5 min 即可快速释放基因组 DNA
-  **快速高效:** 延伸速度 10 s/kb，1 kb 以下片段裂解 + PCR 全过程仅需 40 min
-  **性能优异:** 采用热启动高保真酶，保真性好、特异性强、扩增效率高

性能数据

优异的扩增性能


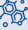





以鼠尾、鼠耳裂解液为模板，分别使用 A158、Com V、Com T 进行扩增。结果显示，A158 较 Com V、Com T 裂解速度和扩增速度更快，扩增效率更高

多重 PCR

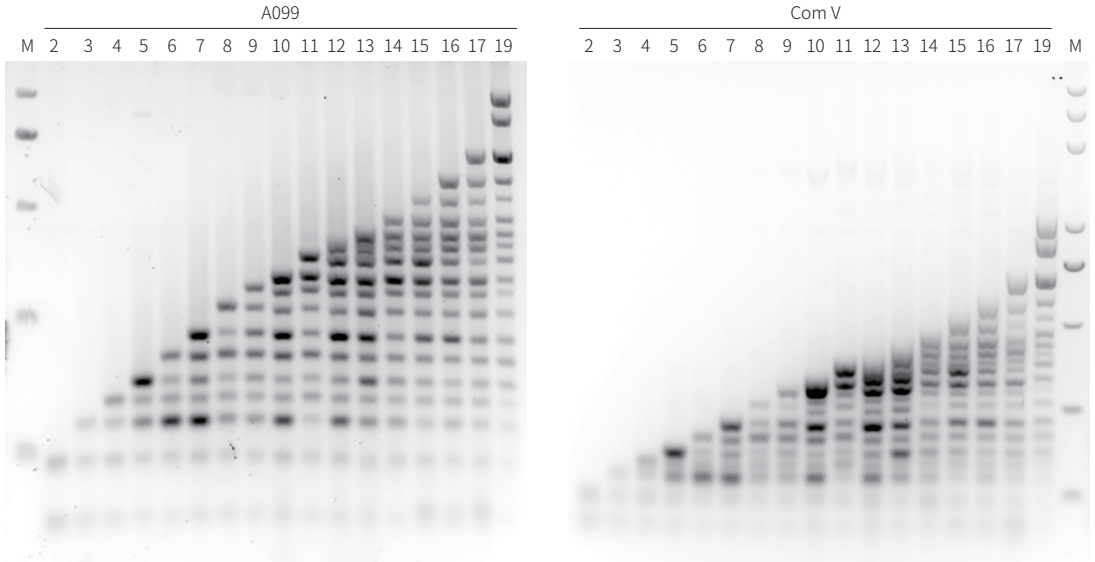
2× Multiplex PCR StarMix (UNG)(A092)
2× Multiplex PCR StarMix (A099)

产品特点

-  **灵敏度高：**最低检测限可达 0.1 ng，条带清晰
-  **扩增效率高：**可在同一反应中扩增 20 个以内目的片段
-  **扩增范围广：**可同时扩增 50-3000 bp 范围内的目的片段，可兼容 GC 含量在 25-70% 的多重模板扩增
-  **杂质耐受能力强：**高度耐受多种抑制剂和杂质类型，兼容全血直扩
-  **防污染体系：**可选 dUTP/UDG 防污染体系 (Cat#A092)

性能数据

扩增效率高





以 Human 基因组为模板，扩增 2~19 重目的片段 (50-1028bp)。结果显示，所有目的片段都清晰可见，A099 同时扩增 20 个以内目的片段

常规克隆

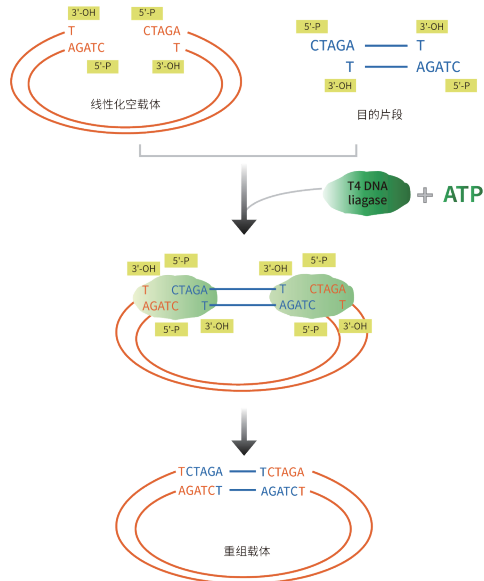
T4 DNA Ligase (A501) Rapid DNA Ligation Kit (A502)

产品特点

 **操作简便:** 操作简便，且连接产物无需纯化，可直接进行转化

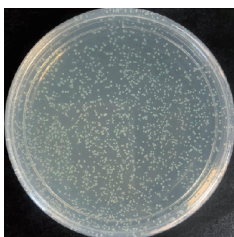
 **连接快速:** 室温下，粘性末端 5-10 min，平末端或单碱基突出末端 2h 内即可完成连接反应

工作原理

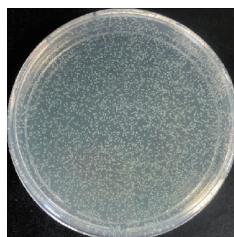


性能数据

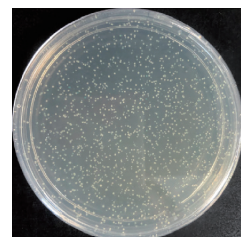
连接效率高



GenStar A501



GenStar A502



Company N

T/A 克隆连接效率对比，室温 (25 °C) 连接 5 min，GenStar 产品较同类产品连接效率更高


TOPO 克隆

EZ-TA/Blunt Zero pTOPO II Cloning Kit (T185)

产品特点

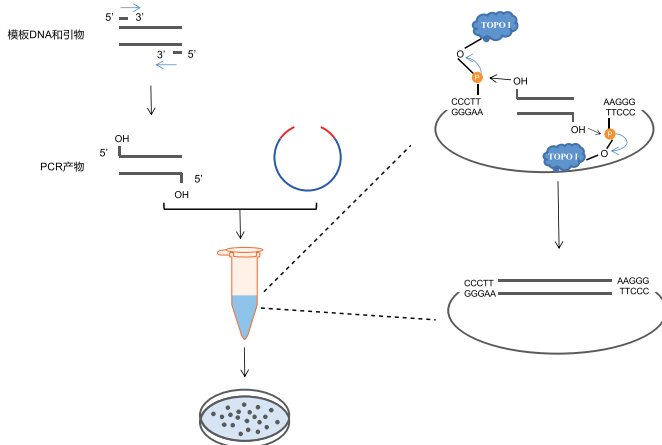
 **兼容性强：**兼容 TA 克隆与平末端克隆

 **反应快速：**室温 5min，即可快速连接

 **阳性率高：**载体带有自杀基因，Amp⁺ + Kan⁺ 双抗性，保障克隆阳性率高

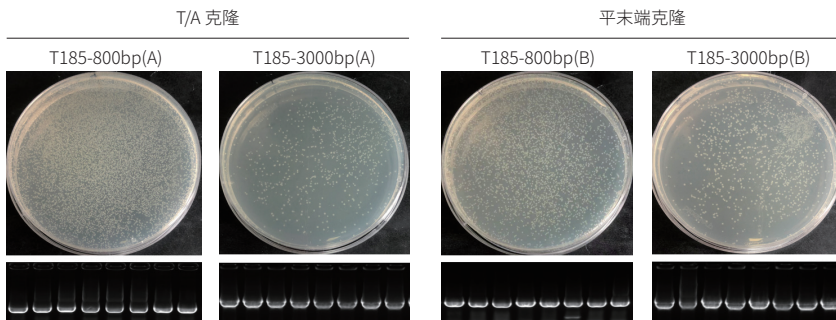
 **简单高效：**无自连、零背景，无需蓝白斑筛选

工作原理



性能数据

克隆效率高且阳性率 > 95%



使用 T185 分别进行 T/A 克隆和平末端克隆后，采用试剂盒自带的 M13 通用引物进行验证，克隆效率均可达 100%

核酸染料

StarStain Red Plus Nucleic Acid Dye 10,000× (E110)
 StarGreen safe Nucleic Acid Dye 10,000× (E111)
 StarStain Red Enhanced Nucleic Acid Dye 10,000× (E113)

StarStain Red Plus Nucleic Acid Dye 10,000×

第三代 GelRed 类染料，克服上一代 GelRed 对电泳迁移率的影响，适用于不同大小片段的核酸电泳染色，且安全无毒、背景更低、检测灵敏度高于 EB。

StarGreen safe Nucleic Acid Dye 10,000×

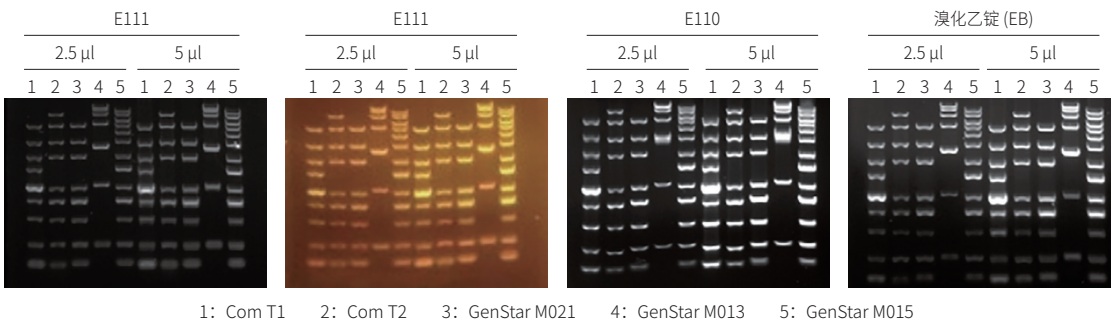
无诱变性、无毒的花菁类核酸染料，化学结构与 SYBR safe 类似，适用于不同大小片段的核酸电泳染色，使用安全，可用于琼脂糖凝胶或聚丙烯酰胺凝胶电泳。

StarStain Red Enhanced Nucleic Acid Dye 10,000×

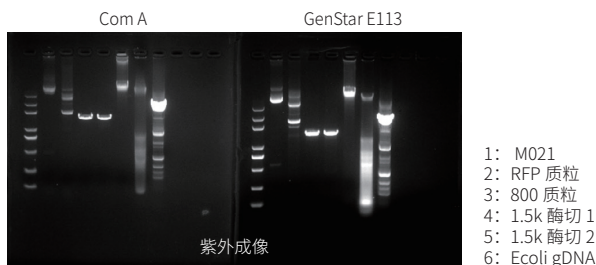
安全无毒的核酸染料，具有使用安全、检测灵敏度高、背景更低等特点，电泳条带清晰整齐美观。适用于不同大小片段的各种核酸电泳染色，对核酸迁移率影响小，适用于紫外激发凝胶成像。

性能数据

不同核酸染料效果对比







灵敏度高，背景低，信噪比更高



cDNA 第一链合成一管化预混液

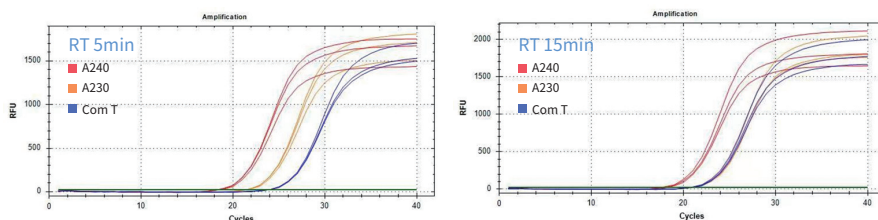
StarScript III All-in-one RT Mix with gDNA Remover (A230)
StarScript Pro All-in-one RT Mix with gDNA Remover (A240)

产品特点

-  简便快捷: gDNA 去除与 cDNA 合成一步完成, 5-15 min 即可完成反应
-  灵敏度高: 低丰度 RNA 模板也能高效反转录
-  去 gDNA 效果好: 热敏型 dsDNase 有效去除 gDNA, 得到高纯度 cDNA
-  热稳定性高: 可耐受 65°C 反应温度, 适合高 GC、复杂结构 RNA 模板反转录

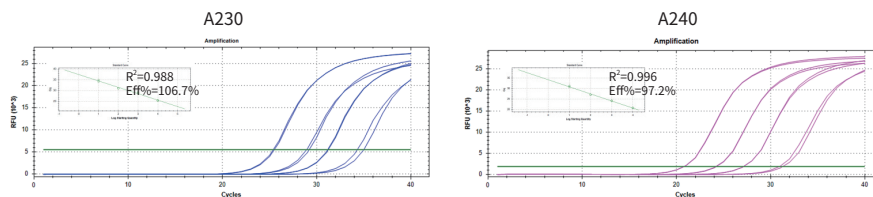
性能数据

反转录速度快



以 1 μg 水稻 RNA 为模板进行反转录反应, 反应时间分别为 5 min 和 15 min, 获得的 cDNA 进行 β -actin 基因 qPCR 检测。
A230、A240 均能在 5-15 min 高效反转录

反转录效率高






以水稻 RNA (1 μg 、100 ng、10 ng、1 ng) 为模板进行反转录, 获得的 cDNA 进行 β -actin 基因 qPCR 检测。
结果显示, A230 和 A240 均能对低丰度 RNA 进行高效反转录

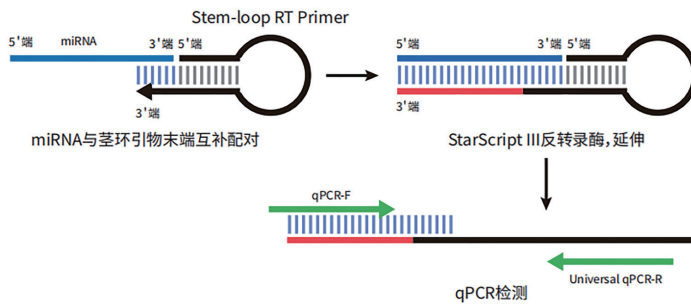
MicroRNA 反转录

StarScript III miRNA RT Kit (by Stem-loop) (A237)

产品特点

-  **特异性高：**通过调整 miRNA qPCR F 端引物，可有效避免 pre-miRNA 干扰，也可精确区分高度同源的 miRNA
-  **灵敏度高：**StarScript III 反转录酶，可对低至 10 pg 的 total RNA 进行反转录
-  **使用方便：**试剂盒中提供人、大鼠、小鼠通用的 U6 内参反转录引物和 qPCR 引物

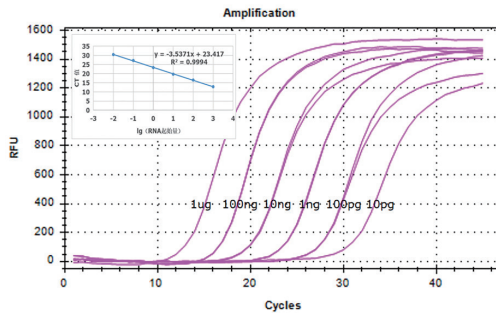
工作原理



茎环法 miRNA 反转录原理示意图

性能数据

灵敏度高








以 1 ug/100 ng/10 ng/1 ng/100 pg/10 pg Hela 细胞 total RNA 为模板，使用 A237 反转录后，通过 qPCR (Cat#A301) 检测 hsa-mir16-5p，结果显示 A237 可对低至 10 pg 的 total RNA 进行检测

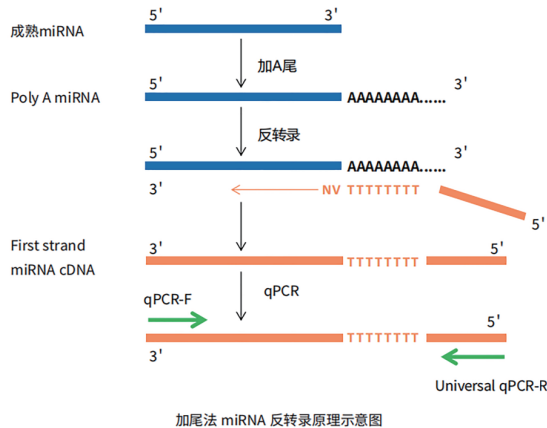
MicroRNA 反转录

StarScript III miRNA RT Kit (by poly A) (A238)

产品特点

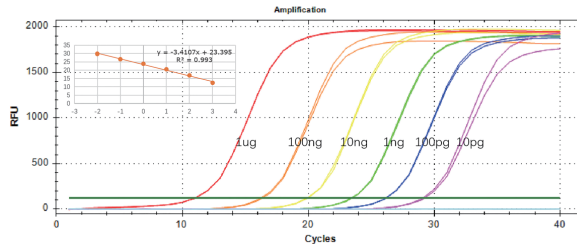
-  **特异性高**: 只针对成熟 miRNA 进行反转录, 排除前体 miRNA 干扰
-  **灵敏度高**: StarScript III 反转录酶, 可对低至 10 pg 的 total RNA 进行反转录
-  **省时省力**: 一步即可完成 Poly(A) 加尾和 cDNA 合成, 节省时间且简化操作
-  **适用广泛**: 可对几乎所有来源的 miRNA 进行反转录
-  **使用方便**: 试剂盒中提供人、大鼠、小鼠通用的 U6 内参反转录引物和 qPCR 引物

工作原理



性能数据

灵敏度高





以 1 ug/100 ng/10 ng/1 ng/100 pg/10 pg 小鼠 total RNA 为模板, 使用 A238 反转录后, 通过 qPCR (Cat#A301) 检测 mmu-mir21-5p, 结果显示 A238 可对低至 10 pg 的 total RNA 进行检测


一步法 RT-PCR


StarScript III One-Step RT-PCR Kit (Dye) (A235)
StarScript III One-Step RT-PCR Kit (A236)

产品特点

 **操作简便：** cDNA 合成和 PCR 扩增在同一反应体系内即可完成

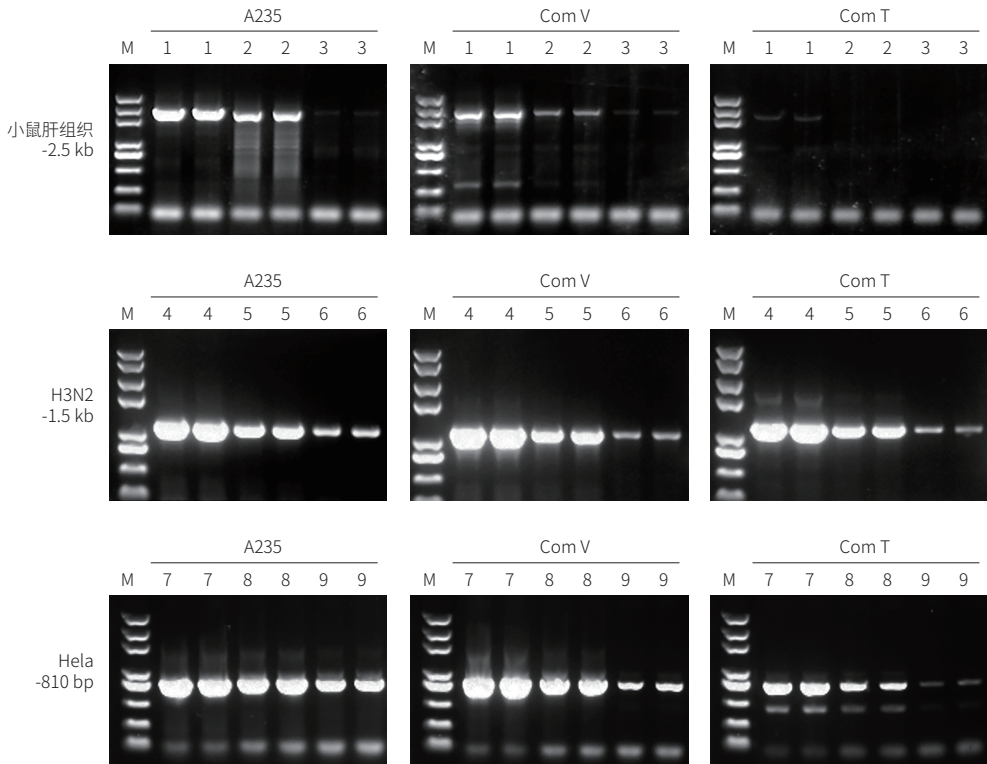
 **灵敏度高：** 检测灵敏度可达 1 pg 总 RNA

 **模板适应性广：** 适用于人、小鼠、流感病毒等不同来源的 RNA 的 RT-PCR

 **可选含染料产品：** 含红色染料，PCR 反应产物可以直接电泳检测

性能数据

模板适用性广且扩增能力强




以小鼠 RNA (100 ng/10 ng/1 ng)、不同稀释倍数的甲流 (H3N2) RNA、Hela 细胞 RNA (10 ng/1 ng/100 pg) 为模板进行反转录。结果显示，StarScript III 一步法 RT-PCR 试剂盒适用性极广且扩增效率高


qPCR 系列

2×RealStar Universal SYBR qPCR Mix (A308)

产品特点

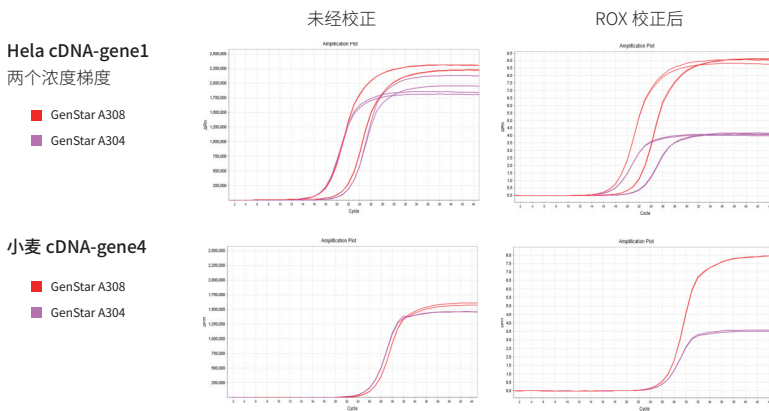
 **通用性强：**通用 ROX，可适用于所有 qPCR 仪器

 **扩增性能优：**采用 Fast 热启动 *Taq* DNA 聚合酶，扩增效率更高、特异性、灵敏度高

 **性价比高：**染料法，使用方便，性价比高、降低实验成本

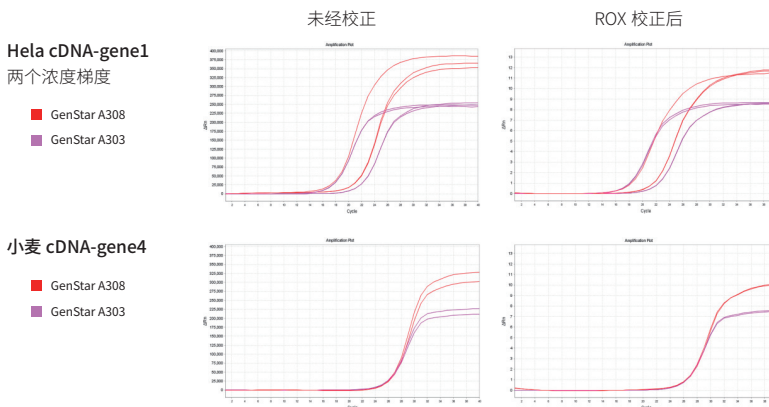
性能数据

仪器验证：ABI 7500 (Low ROX)



▶ 分别以 Hela cDNA 和小麦 cDNA 为检测样品，同时使用 GenStar A308 和 A304 进行 qPCR 扩增。经验证，A308 和 A304 在 Low ROX 适用仪器上可进行校正。


仪器验证：ABI StepOne (High ROX)




▶ 分别以 Hela cDNA 和小麦 cDNA 为检测样品，同时使用 GenStar A308 和 A303 进行 qPCR 扩增。经验证，A308 和 A303 在 High ROX 适用仪器上可进行校正。

2×RealStar Fast pro SYBR qPCR Mix (A401)

产品特点

 **模板兼容性广：**可兼容常规模板、低表达水平基因的检测，尤其适用于 GC-Rich 片段的检测

 **扩增性能优：**采用抗体法修饰的热启动 Taq DNA 聚合酶，扩增速度快、灵敏度高、特异性强

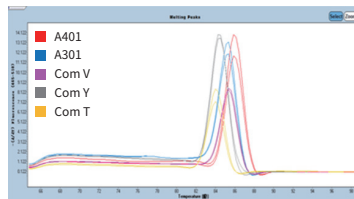
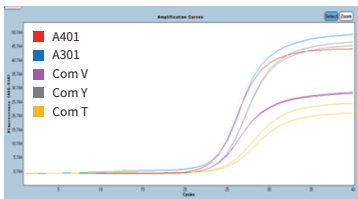
 **程序兼容性强：**适用于标准程序和快速程序进行扩增

性能数据

适用不同表达水平的基因扩增

常用内参基因 (ACTB)

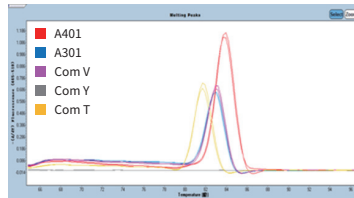
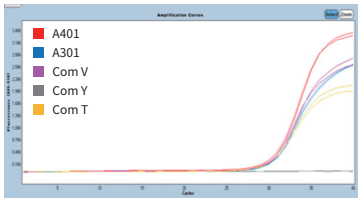
模板：小鼠 cDNA



| 品牌 | Ct mean |
|--------------|---------|
| GenStar A401 | 22.98 |
| GenStar A301 | 23.43 |
| Com V | 23.25 |
| Com Y | 23.99 |
| Com T | 24.87 |

低表达基因 (aSMA)

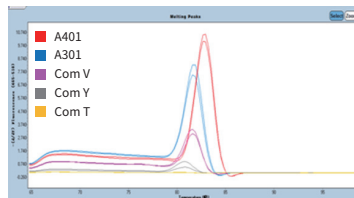
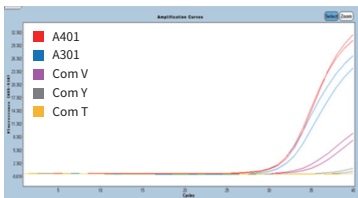
模板：小鼠 cDNA



| 品牌 | Ct mean |
|--------------|---------|
| GenStar A401 | 30.51 |
| GenStar A301 | 30.19 |
| Com V | 30.12 |
| Com Y | - |
| Com T | 29.18 |

低表达基因 (Notch)

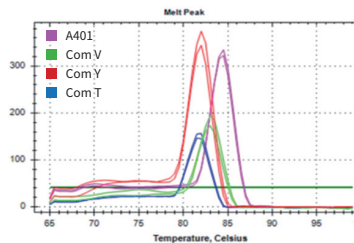
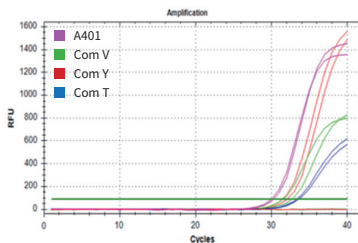
模板：小鼠 cDNA



| 品牌 | Ct mean |
|--------------|---------|
| GenStar A401 | 31.74 |
| GenStar A301 | 31.70 |
| Com V | 34.8 |
| Com Y | 35 |
| Com T | - |

低表达基因 (radph)

模板：小麦 cDNA







| 品牌 | Ct mean |
|--------------|---------|
| GenStar A401 | 29.91 |
| Com V | 30.84 |
| Com Y | 30.47 |
| Com T | 32.75 |

以小鼠、小麦 cDNA 为模板进行不同表达水平基因的 qPCR 检测。结果显示，GenStar A401 扩增效果与 GenStar A301 相当，且扩增性能优于 Com V、Com Y、Com T。

多重 qPCR 预混液

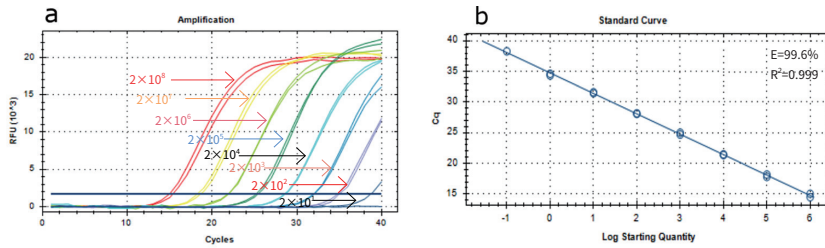
2 × Multiplex Fast Probe Mix (UNG) (A392)

产品特点

-  **多重检测：**单个反应体系中，可检测多个靶标
-  **扩增性能好：**扩增效率高、灵敏度高、结果重复性好
-  **特异性好：**探针特异性结合在靶标序列上，检测结果更准确
-  **防污染系统：**试剂中加入 dUTP/UDG 防污染系统，保证结果真实可靠

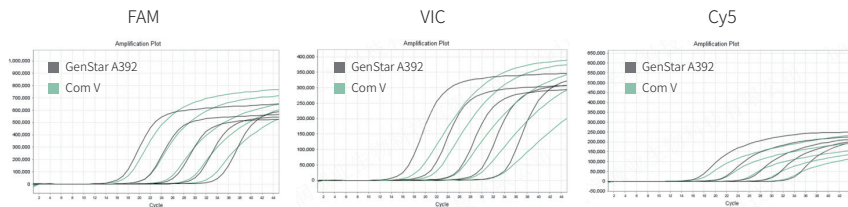
性能数据

优异的扩增灵敏度



使用 A392 对浓度梯度为 $2 \times 10^1 \sim 2 \times 10^8$ copies/μl 的某 DNA 病毒阳性质粒进行 qPCR 检测。结果显示，A392 具有广泛的定量范围，且对低浓度模板扩增效果优异

三通道检测效果优异



分别选取某 DNA 病毒阳性质粒 5 个浓度 ($2 \times 10^1 \sim 2 \times 10^5$ copies/μl) 的标准对照为模板，使用 GenStar#A392、Com V 进行 FAM、VIC、Cy5 三重 qPCR 扩增检测。结果显示，A392 三通道检测结果均表现良好

Taq Pro 多重 qPCR 预混液

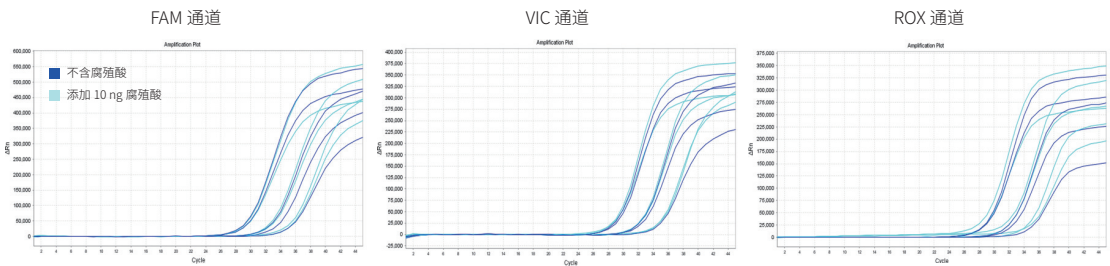
2 × Taq Pro Multiplex Probe Mix (UNG, Low DNA) (A394LD)

产品特点

- 多重荧光定量 PCR 检测，扩增线性范围宽
- 含有 dUTP/UNG 防污染系统，可有效防止气溶胶污染
- 抗干扰能力强，杂质耐受性高
- 扩增能力强，适用于高 GC 模板的扩增
- 可有效减少非特异性扩增和假阳性 PCR 产物，可对微生物序列高灵敏度检出

性能数据

抗抑制剂能力强







以不含腐殖酸、添加腐殖酸的非洲猪瘟病毒模拟样本为模板，使用 GenStar A394LD 进行探针法 qPCR 反应检测。结果显示，GenStar A394LD 在含腐殖酸等扩增抑制物的情况下，扩增效果几乎不受影响，抗抑制剂能力较强。

多重 qRT-PCR 预混液

Multiplex One-Step qRT-PCR Probe Kit (UNG) (A388)

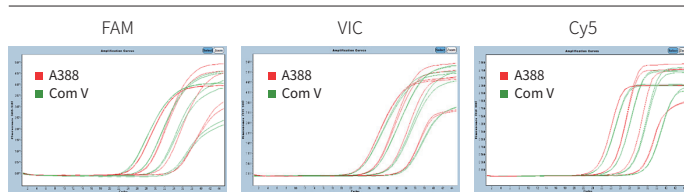
产品特点

-  **简便快捷:** 在同一反应体系中即可完成 cDNA 合成和多重 qPCR
-  **一管多重:** 单个反应体系中，可检测多个靶标
-  **灵敏度高:** 灵敏度可达 1 pg 总 RNA 或 <10 copies 的 RNA 模板
-  **防污染系统:** 采用热敏 UNG，高温失活，不影响 qRT-PCR 的效率和灵敏度

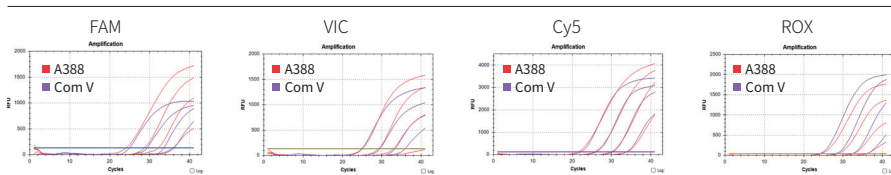
性能数据

卓越的多重兼容性

COV19 检测







FluAB 检测



以 COV19、FluAB 为模板，进行 4 个 10 倍梯度稀释，多重 qPCR 检测。结果显示，A388 多重兼容性强，与 Com V 效果相当

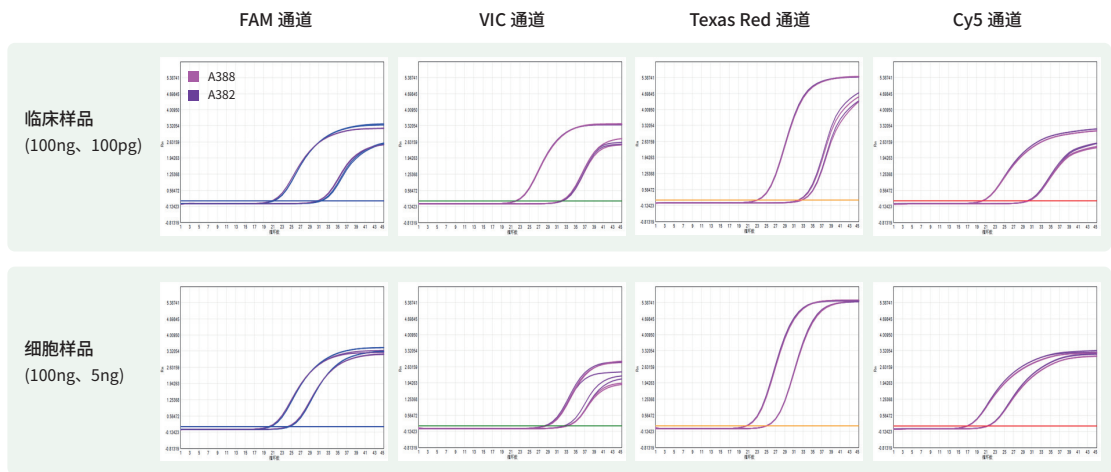
2 × Multiplex One-Step qRT-PCR Probe Mix (UNG) (A382)

产品特点

-  **简便快捷：**在同一反应体系中即可完成 cDNA 合成和多重 qPCR，简化实验操作
-  **扩增效率高：**优化比例的逆转录酶和热启动酶，配合优化的反应体系，保证高效扩增
-  **防污染：**采用热敏 UNG，可消除气溶胶对 qRT-PCR 的影响
-  **一管多重：**兼容 1-4 重探针法荧光定量检测

性能数据

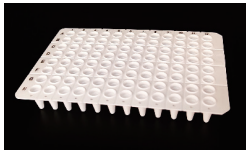

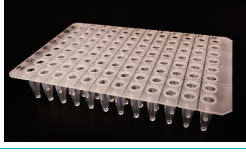
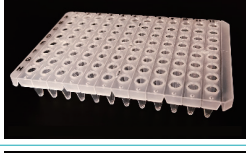
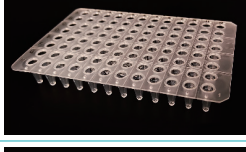
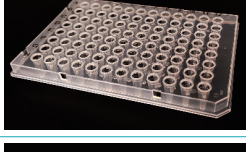

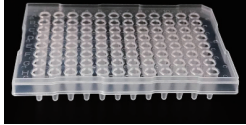
某肿瘤基因检测，四重 RT-qPCR 反应

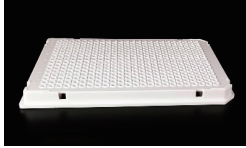
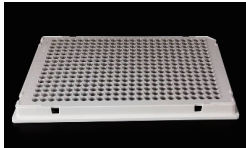
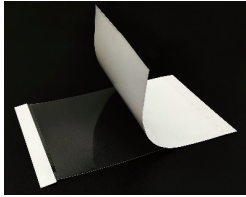
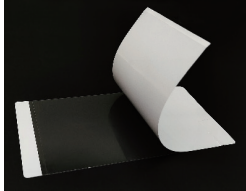
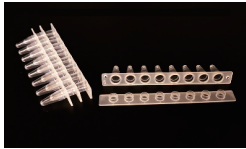
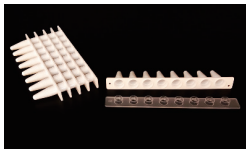
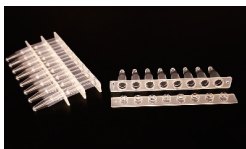




分别以临床样品和细胞样品为模板，进行一步法 qRT-PCR 反应，GenStar A382 与 GenStar A388 性能一致，检测效率相当。

qPCR 实验耗材推荐产品

GenStar qPCR 实验耗材包括 96 孔板、384 孔板和 8 联排管，规格种类丰富，不同实验、不同实验仪器可灵活选择。

| 分类 | 产品名称 | 货号 | 图片 |
|-------|-------------------------------|---------|--|
| 96 孔板 | 0.1ml 96 孔 qPCR 板，无裙边，白色双切角 | HL96101 |  |
| | 0.1ml 96 孔 qPCR 板，半裙边，白色单切角 | HL96111 |  |
| | 0.2ml 96 孔 qPCR 板，无裙边，透明双切角 | HL96200 |  |
| | 0.2ml 96 孔 qPCR 板，半裙边，透明双切角 | HL96210 |  |
| | 0.1ml 96 孔 qPCR 板，无裙边，透明双切角 | HL96100 |  |
| | 0.1ml 96 孔 qPCR 板，半裙边，透明单切角 | HL96110 |  |
| | 0.1ml 96 孔 qPCR 板，半裙边，磨砂透明单切角 | HL96112 |  |
| | 0.2ml 96 孔 qPCR 板，半裙边，磨砂透明单切角 | HL96212 |  |


| 分类 | 产品名称 | 货号 | 图片 |
|----------------|---------------------------------------|---------|--|
| 384 孔 PCR 板 | 40 μ l 384 孔 qPCR 板, 白色全裙边, 白色双切角 | HL38121 |  |
| | 40 μ l 384 孔 qPCR 板, 白色全裙边, 透明单切角 | HL38120 |  |
| PCR 板 配套封板膜 | qPCR 封板膜 (粘性), 透明 | HL96551 |  |
| | qPCR 封板膜 (压敏), 透明 | HL96552 |  |
| 八联排管 | 0.1ml qPCR 8 联排管, 平盖, 透明 | HL08100 |  |
| | 0.1ml qPCR 8 联排管, 平盖, 白色 | HL08101 |  |
| | 0.2ml qPCR 8 联排管, 平盖, 透明 | HL08200 |  |
| | 0.2ml qPCR 8 联排管, 平盖, 白色 | HL08201 |  |
| | 0.2ml PCR 8 联排管 & 连盖, 透明 | HL08202 |  |




热敏 UDG 酶

Uracil DNA Glycosylase (UDG), Heat-labile (A341)

产品特点

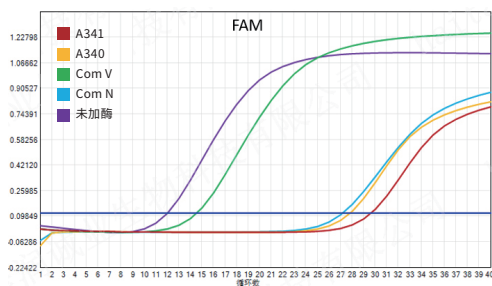
 **简便快速:** 5-10 min 即可降解含 dU PCR 产物

 **防污染:** 室温反应, 50°C 灭活, 尤其适合反转录一步法防污染扩增

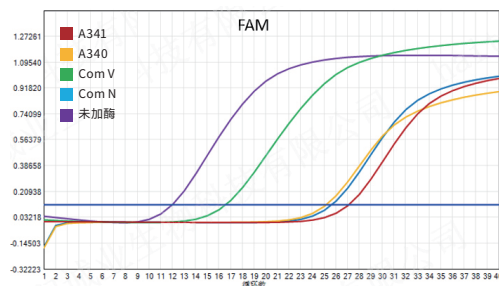
性能数据

消化效果好

UDG 处理条件: 25°C, 30s



UDG 处理条件: 25°C, 2min



以含 UTP mix 扩增猪瘟产物为底物, 用热敏型 UDG 酶消化后进行 qPCR 扩增检测。A341 较 Com V 消化效果好, 与 Com N 消化效果相当

代表文献集锦



核酸提取纯化系列

1. ChunJie Guo, XuKai Ma, YuHang Xing, et al. Distinct Processing of lncRNAs Contributes to Non-conserved Functions in Stem Cells. *CELL*. 2020 Apr;181(3):621-636.e22. IF:38.637 (GenStar #D205)
2. Chu Xiao Liu, Xiang Li, Fang Nan, et al. Structure and Degradation of Circular RNAs Regulate PKR Activation in Innate Immunity. *CELL*. 2019 May;177(4):865-880.e21. IF:36.216 (GenStar #D205)
3. KeWu Zeng, JingKang Wang, LiChao Wang, et al. Small molecule induces mitochondrial fusion for neuroprotection via targeting CK2 without affecting its conventional kinase activity. *Signal Transduction and Targeted Therapy*. 2021 Feb;6,71. IF:18.187 (GenStar #D209)
4. Ni Hai, Wang Yinuo, Yao Kai, et al. Cyclical palmitoylation regulates TLR9 signalling and systemic autoimmunity in mice. *Nature Communications*. 2024. Jan. IF=16.6 (GenStar #P118)
5. Liu Xiaochuan, Chen Hao, Li Zekun, et al. InPACT: a computational method for accurate characterization of intronic polyadenylation from RNA sequencing data. *Nature Communications*. 2024. Mar. IF=16.6 (GenStar #P118)
6. Bo Liu, Jiancheng Huang, Amina Ashraf, et al. The RNase MCPIP3 promotes skin inflammation by orchestrating myeloid cytokine response. *Nature Communications*. 2021 Jul;12,4105. IF:14.919 (GenStar #P118)
7. Miaomiao Li, Xue Han, Lijun Sun, et al. Indole-3-acetic acid alleviates DSS-induced colitis by promoting the production of R-equol from *Bifidobacterium pseudolongum*. *Gut Microbes*. 2024. Mar. IF=12.2 (GenStar #P118)
8. Rong Hao, Wenkun Zhou, Jingrui Li, et al. On salt stress, PLETHORA signaling maintains root meristems. *Developmental Cell*. 2023. Jul. IF=11.8 (GenStar #P118)
9. Tang Rui, Huang Cong, Yang Jun, et al. A ghost moth olfactory prototype of the lepidopteran sex communication. *Gigascience*. 2024. Jul. IF=11.8 (GenStar #D205)
10. Yutian Liu, Siliang Zhang, Hongzhang Deng, et al. Lead and copper led to the dysregulation of bile acid homeostasis by impairing intestinal absorption in *Bufo gargarizans* larvae: An integrated metabolomics and transcriptomics approach. *SCIENCE OF THE TOTAL ENVIRONMENT*. 2023 Jan;855,159031. IF:10.753 (GenStar #P118)
11. Tong Zhang, Mingfei Shao, Hanfeng Li, et al. Decellularized Amnion Membrane Triggers Macrophage Polarization for Desired Host Immune Response. *Advanced Healthcare Materials*. 2024. Jul. IF=10 (GenStar #P118)
12. Ziyi Niu, Yutian Liu, Yaxi Wang, et al. Impairment of bile acid metabolism and altered composition by lead and copper in *Bufo gargarizans* tadpoles. *Science Of The Total Environment*. 2023. Jul. IF=9.8 (GenStar #P118)
13. Xinyi Li, Kaiyue Li, Jiayi Li, et al. Effects of perchlorate and exogenous T4 on growth, development and tail resorption of *Rana chensinensis*. *Environmental Pollution*. 2023. Aug. IF=8.9 (GenStar #P118)
14. Qingjun Kong, Haijue Zhang, Qingchao Gao, et al. Ultraviolet C irradiation enhances the resistance of grape against postharvest black rot (*Aspergillus carbonarius*) by regulating the synthesis of phenolic compounds. *Food Chemistry*. 2024. Jul. IF=8.5 (GenStar #P135)
15. Shao Jiahao, Wang Meigui, Zhang Anjing, et al. Interference of a mammalian circRNA regulates lipid metabolism reprogramming by targeting miR-24-3p/Igf2/PI3K-AKT-mTOR and Igf2bp2/Ucp1 axis. *Cellular And Molecular Life Sciences*. 2023. Aug. IF=8 (GenStar #D111)
16. Chao Yang, Ligang Yang, Yafang Yang, et al. Effects of flaxseed powder in improving non-alcoholic



fatty liver by regulating gut microbiota-bile acids metabolic pathway through FXR/TGR5 mediating. BIOMEDICINE & PHARMACOTHERAPY. 2023 Jul;163,114864. IF:7.5 (GenStar #P301)

PCR 系列

1. Song Runjie, Guo Peilan, Ren Xin, et al. A novel polypeptide CAPG-171aa encoded by circCAPG plays a critical role in triple-negative breast cancer. *Molecular Cancer*. 2023.Jul. IF=37.3 (GenStar #A012)
2. Yue Xu, Ping Zhou, Sen Cheng, et al. A Bacterial Effector Reveals the V-ATPase-ATG16L1 Axis that Initiates Xenophagy. *CELL*. 2019 Jul;178(3):552-566. IF:36.216 (GenStar #A012)
3. Yan Wang, Zunyun Fu, Xutong Li, et al. Cytoplasmic DNA sensing by KU complex in aged CD4+ T cell potentiates T cell activation and aging-related autoimmune inflammation. *IMMUNITY*. 2021 Apr;54(4):632-647. IF:31.745 (GenStar #A012)
4. Ming Zhang, Hao Zhang, Zhihui Li, et al. Functional, structural and molecular characterizations of leukemogenic driver MEF2D-HNRNPUL1 fusion. *BLOOD*. 2022 Sep;140(12):1390-1407. IF:23.629 (GenStar #A012)
5. Weihong Xie, Shouheng Jin, Chenqiu Zhang, et al. Selective autophagy controls the stability of TBK1 via NEDD4 to balance host defense. *CELL DEATH AND DIFFERENTIATION*. 2022;29:40-53. IF:15.828 (GenStar #A012)
6. Jianan Zhao, Chuanrong Zhao, Fangfang Yang, et al. DNMT1 mediates the disturbed flow-induced endothelial to mesenchymal transition through disrupting β -alanine and carnosine homeostasis. *Theranostics*. 2023.Aug. IF=12.4 (GenStar #A012)
7. Yuhui Wang, Xiaohan Wang, Guozhen Ma, et al. Sustainable production of polysaccharide-based glycoprotein by simultaneous conversion of glucose and glycerol in engineered *Escherichia coli*. *GREEN CHEMISTRY*. 2023;12. IF:9.8 (GenStar #A164)
8. Yang-Si Li, Wen-Pu Lai, Kai Yin, et al. Lipid-associated macrophages for osimertinib resistance and leptomeningeal metastases in NSCLC. *Cell Reports*. 2024.Aug. IF=7.5 (GenStar#A015)

分子克隆系列

1. Shi WenTao, Zhang Biliang, Li MengLin, et al. The convergent xenogeneic silencer MucR predisposes α -proteobacteria to integrate AT-rich symbiosis genes. *NUCLEIC ACIDS RESEARCH*. 2022 Aug;50(15):8580-8598. IF:19.16 (GenStar #T186)
2. Guangjun Xu, Chong Liu, Sheng Zhou, et al. Viral tegument proteins restrict cGAS-DNA phase separation to mediate immune evasion. *MOLECULAR CELL*. 2021 Jul;81(13):2823-2837. IF:17.97 (GenStar #T194)
3. Bo Yan, Youwei Ai, Qi Sun, et al. Membrane Damage during Ferroptosis Is Caused by Oxidation of Phospholipids Catalyzed by the Oxidoreductases POR and CYB5R1. *MOLECULAR CELL*. 2021 Jan;81(2):355-369. IF:15.584 (GenStar #T115)
4. Bo Yan, Zhangcheng Ding, Wenbin Zhang, et al. Multiple PDE3A modulators act as molecular glues promoting PDE3A-SLFN12 interaction and induce SLFN12 dephosphorylation and cell death. *Cell Chemical Biology*. 2022 Jun;29(6):958-969. IF:8.116 (GenStar #T115)
5. Bo Cui, Bo Yan, Kang Wang, et al. Discovery of a New Class of Uracil Derivatives as Potential Mixed Lineage Kinase Domain-like Protein (MLKL) Inhibitors. *JOURNAL OF MEDICINAL CHEMISTRY*. 2022;65,19:12747-



12780. [IF:8.039 \(GenStar #T115\)](#)
- Meng Xiaodan, Zhang Zhiyong, Wang Huali, et al. Multi-scale analysis provides insights into the roles of ureide permeases in wheat nitrogen use efficiency. *Journal Of Experimental Botany*. 2023.Jul. [IF=6.9 \(GenStar #T196\)](#)
 - Yuhui Wang, Haining Tan, Yanling Wang, et al. High-Level Biosynthesis of Chlorogenic Acid from Mixed Carbon Sources of Xylose and Glucose through a Rationally Refactored Pathway Network. *Journal Of Agricultural And Food Chemistry*. 2024.Feb. [IF=6.1\(GenStar #S101\)](#)

■ 核酸电泳系列

- Yu Guimei, Wang Xiaoshen, Zhang Yi, et al. Structure and function of a bacterial type III-E CRISPR-Cas7-11 complex. *Nature Microbiology*. 2022 Oct;7:2078-2088. [IF:30.964 \(GenStar #E110\)](#)
- Qiqi Liu, Jingwei Tian, Jinjian Liu, et al. Modular Assembly of Tumor-Penetrating and Oligomeric Nanozyme Based on Intrinsically Self-Assembling Protein Nanocages. *ADVANCED MATERIALS*. 2021 Oct;33(39). [IF:30.849 \(GenStar #E111\)](#)
- Yan Liang, Jingge Zhang, Chenlu Xu, et al. Biomimetic Mineralized CRISPR/Cas RNA Nanoparticles for Efficient Tumor-Specific Multiplex Gene Editing. *Acs Nano*. 2023.Jul. [IF=17.1 \(GenStar #M015\)](#)
- ZhuYing Yan, Jing Chen, Jie Shao, et al. The cell-impermeable Ru(II) polypyridyl complex as a potent intracellular photosensitizer under visible light irradiation via ion-pairing with suitable lipophilic counteranions. *FREE RADICAL BIOLOGY AND MEDICINE*. 2021 Aug;171:69-79. [IF:7.376 \(GenStar #M022\)](#)
- Tianyuan Jia, Pan Wu, Bin Liu, et al. The phosphate-induced small RNA EsrL promotes *E. coli* virulence, biofilm formation, and intestinal colonization. *Science Signaling*. 2023 Jan;16(767). [IF:7.3 \(GenStar #E111\)](#)
- Huiqiong Chen, Zhiguo Zhang, Erdong Ni, et al. HMS1 interacts with HMS1I to regulate very-long-chain fatty acid biosynthesis and the humidity-sensitive genic male sterility in rice (*Oryza sativa*). *NEW PHYTOLOGIST*. 2020 Mar;225(5):2077-2093. [IF:7.299 \(GenStar #M022\)](#)
- Li Mi, Jing Sui, Yafeng Wu, et al. Bioinspired in Vitro Lung Airway Model for Inflammatory Analysis via Hydrophobic Nanochannel Membrane with Joint Three-Phase Interface. *Analytical Chemistry*. 2019;91,24:15804-15810. [IF:6.35 \(GenStar #M020\)](#)

■ 反转录系列

- Kaikai Zhang, Jianzheng Yang, Lijian Chen, et al. Gut Microbiota Participates in Polystyrene Microplastics-Induced Hepatic Injuries by Modulating the Gut-Liver Axis. *Acs Nano*. 2023.Jul. [IF=17.1 \(GenStar #A230\)](#)
- Yao Shun, Jin Tianzhi, Zhang Lu, et al. N/S element transformation modulating lithospheric microbial communities by single-species manipulation. *Microbiome*. 2023 May;11,107. [IF:15.5 \(GenStar # A230\)](#)
- Chenchen Peng, Yukun Shi, Shuo Wang, et al. Genetic and functional characterization of multiple thermophilic organosulfur-removal systems reveals desulfurization potentials for waste residue oil cleaning. *JOURNAL OF HAZARDOUS MATERIALS*. 2023 Mar;446,130706. [IF:14.224 \(GenStar #A233\)](#)
- Shenmei Sun, Shuo Wang, Yalin Yin, et al. Competitive mechanism of salt-tolerance/degradation-performance of organic pollutant in bacteria: Na⁺/H⁺ antiporters contribute to salt-stress resistance but impact phenol degradation. *Water Research*. 2024.Mar. [IF=12.8 \(GenStar #A233\)](#)

5. Tian Zhao, Jiaojiao Zhang, Hong Lei, et al. NRF1-mediated mitochondrial biogenesis antagonizes innate antiviral immunity. *Embo Journal*. 2023.Jul. IF=11.4 (GenStar #A214)
6. Pei Ouyang, Zhiyu Cai, Jiaying Peng, et al. SELENOK-dependent CD36 palmitoylation regulates microglial functions and A β phagocytosis. *Redox Biology*. 2024.Feb. IF=11.4 (GenStar #A230)
7. Fuqiang Zhang, Nan Yang, Fu Zhou, et al. Orthogonally Sequential Activation of Self-Powered DNAzymes Cascade for Reliable Monitoring of mRNA in Living Cells. *Advanced Healthcare Materials*. 2024.Jan. IF=10(GenStar #A230)
8. Yu Han, Yu Li, Zhiwei Zeng, et al. Resistance Mechanism and Physiological Effects of Microcin Y in *Salmonella enterica* subsp. *enterica* Serovar Typhimurium. *Microbiology Spectrum*. 2022 Dec;10(6). IF:9.043 (GenStar #A234)
9. Tao Hai-Ping, Lu Teng-Fei, Li Shuang, et al. Pancreatic lipase-related protein 2 is selectively expressed by peritubular myoid cells in the murine testis and sustains long-term spermatogenesis. *Cellular And Molecular Life Sciences*. 2023.Jul. IF=8 (GenStar A224)
10. Qu Tongyuan, Zhang Wenshuai, Yan Chenhui, et al. ISG15 targets glycosylated PD-L1 and promotes its degradation to enhance antitumor immune effects in lung adenocarcinoma. *Journal of Translational Medicine*. 2023 May;21,341. IF:7.4 (GenStar #A232)
11. Mao Huang, Xinru Cao, Yucong Jiang, et al. Evaluation of the Combined Effect of Artemisinin and Ferroptosis Inducer RSL3 against *Toxoplasma gondii*. *INTERNATIONAL JOURNAL OF MOLECULAR SCIENCES*. 2023;24(1),229. IF:6.208 (GenStar #A230)
12. Situo Wang, Ziwei Liu, Shuo Yang, et al. Extracellular vesicles secreted by human gingival mesenchymal stem cells promote bone regeneration in rat femoral bone defects. *Frontiers in Bioengineering and Biotechnology*. 2023;11:1098172. IF:5.7 (GenStar #A233)

qPCR 系列

1. Jincui Shi, Boyu Zhao, Shuang Zheng, et al. A phosphate starvation response-centered network regulates mycorrhizal symbiosis. *CELL*. 2021 Oct;184(22):5527-5540.e18. IF:41.584 (GenStar #A301)
2. Zhu Qiong, Fu Yesheng, Cui ChunPing, et al. OTUB1 promotes osteoblastic bone formation through stabilizing FGFR2. *Signal Transduction and Targeted Therapy*. 2023;8,142. IF:39.3 (GenStar #A301)
3. Yang Bo, Liu Chao, Ju Xiaohui, et al. A tissue specific-infection mouse model of SARS-CoV-2. *Cell Discovery*. 2023 Apr;9,43. IF:33.5 (GenStar #A311)
4. Zhang Cuifang, Li Tianqi, Yin Shuyao, et al. Monocytes deposit migrasomes to promote embryonic angiogenesis. *NATURE CELL BIOLOGY*. 2022;24:1726-1738. IF:28.213 (GenStar #A311)
5. Qing Wu, Xianyi Liang, Kai Wang, et al. Intestinal hypoxia-inducible factor 2 α regulates lactate levels to shape the gut microbiome and alter thermogenesis. *Cell Metabolism*. 2021 Oct;33(10):1988-2003.e7. IF:27.287 (GenStar #A314)
6. Wang Yu, Yue Jiaolin, Yang Nan, et al. An ERAD-related ubiquitin-conjugating enzyme boosts broad-spectrum disease resistance and yield in rice. *Nature Food*. 2023.Aug. IF=23.2 (GenStar #A301)
7. Fanqi Hu, Zian Pan, Chao Liu, et al. Identification of inflammatory regulation roles of thalidomide/ruxolitinib in nucleus pulposus and construction of polyelectrolyte nanocomplexes-impregnated injectable hydrogels for synergistic intervertebral disk degeneration treatment. *Nano Today*. 2022 Jun;44:101462. IF:20.722 (GenStar #A304)



8. Zheng Leiyang, Wu Huilan, Wang Anbin, et al. The SOD7/DPA4–GIF1 module coordinates organ growth and iron uptake in Arabidopsis. *Nature Plants*. 2023.Aug. IF=18 (GenStar #A301)
9. Hao Li, Tianyuan Zhao, Zhiguo Yuan, et al. Cartilage lacuna-biomimetic hydrogel microspheres endowed with integrated biological signal boost endogenous articular cartilage regeneration. *Bioactive Materials*. 2024.Jul. IF=18 (GenStar#A301)
10. Yanbo Shan, Bo Qiao, Sihui Ouyang, et al. Biodegradable Mg-Ca/Mg-Cu bilayer membranes with enhanced mechanical, osteogenesis and antibacterial performances for GBR applications. *Journal Of Magnesium And Alloys*. 2024.Feb. IF=17.6 (GenStar #A301)
11. Wan Jiajia, Liang Qifu, Zhang Ruonan, et al. Arboviruses and symbiotic viruses cooperatively hijack insect sperm-specific proteins for paternal transmission. *Nature Communications*. 2023;14,1289. IF:16.6 (GenStar #A303)
12. Shi Xuetao, Xie Xin, Guo Yuanwen, et al. A fungal core effector exploits the OsPUX8B.2–OsCDC48-6 module to suppress plant immunity. *Nature Communications*. 2024.Mar. IF=16.6 (GenStar #A301)
13. Wu Jiacheng, Xu Xiaoqing, Duan Jiaqi, et al. EFHD2 suppresses intestinal inflammation by blocking intestinal epithelial cell TNFR1 internalization and cell death. *Nature Communications*. 2024.Feb. IF=16.6 (GenStar #A311)
14. Wang Yanfei, Lu Chengcong, Guo Shude, et al. Leafhopper salivary vitellogenin mediates virus transmission to plant phloem. *Nature Communications*. 2024.Jan. IF=16.6 (GenStar #A303)
15. Jiana Huang, Peigen Chen, Lei Jia, et al. Multi-Omics Analysis Reveals Translational Landscapes and Regulations in Mouse and Human Oocyte Aging. *Advanced Science*. 2023.Jul. IF=15.1 (GenStar #A311)
16. Zhang Jie, Hu Gongcheng, Lu Yuli, et al. CTCF mutation at R567 causes developmental disorders via 3D genome rearrangement and abnormal neurodevelopment. *Nature Communications*. 2024.Jul. IF=14.7 (GenStar#A301)
17. Sun Xinyan, Du Yu, Cheng Yu, et al. Insect ribosome-rescuer Pelo-Hbs1 complex on sperm surface mediates paternal arbovirus transmission. *Nature Communications*. 2024.Aug. IF=14.7 (GenStar#A304)
18. Wang Xin, Wu Haibo, Yu Zhongkai, et al. Plant viruses exploit insect salivary GAPDH to modulate plant defenses. *Nature Communications*. 2024.Aug. IF=14.7 (GenStar#A303)
19. Xia Xinyao, Wei Qiuhe, Wu Hanxiang, et al. *Bacillus* species are core microbiota of resistant maize cultivars that induce host metabolic defense against corn stalk rot. *Microbiome*. 2024.Aug. IF=13.8 (GenStar#A304)

蛋白类试剂

1. Ge Weikai, Gou Shixue, Zhao Xiaozhu, et al. In vivo evaluation of guide-free Cas9-induced safety risks in a pig model. *Signal Transduction And Targeted Therapy*. 2024.Jul. IF=40.8 (GenStar#E162)
2. Song Runjie, Ma Shuoqian, Xu Jiajia, et al. A novel polypeptide encoded by the circular RNA ZKSCAN1 suppresses HCC via degradation of mTOR. *Molecular Cancer*. 2023 Jan;22,16. IF:37.3 (GenStar #E121)
3. Yan Wang, Dianyu Chen, Di Xu, et al. Early developing B cells undergo negative selection by central nervous system-specific antigens in the meninges. *IMMUNITY*. 2021 Dec;54(12):2784-2794.e6. IF:31.745 (GenStar #M221)
4. Zhong Tao, Zhu Mang, Zhang Qianqian, et al. The ZmWAKL–ZmWIK–ZmBLK1–ZmRBOH4 module provides quantitative resistance to gray leaf spot in maize. *Nature Genetics*. 2024.Jan. IF=30.8 (GenStar #E153)
5. Chen Lishu, Qi Qinghui, Jiang Xiaoqing, et al. Phosphocreatine Promotes Epigenetic Reprogramming



- to Facilitate Glioblastoma Growth Through Stabilizing BRD2. *Cancer Discovery*. 2024.Jul. IF=29.7 (GenStar#G106)
6. Lu Yu, Hang Wen, Chang Liu, et al. Embryonic stem cell-derived extracellular vesicles rejuvenate senescent cells and antagonize aging in mice. *Bioactive Materials*. 2023.Jul. IF=18.9 (GenStar #E162)
 7. Guangjun Xu, Chong Liu, Sheng Zhou, et al. Viral tegument proteins restrict cGAS-DNA phase separation to mediate immune evasion. *MOLECULAR CELL*. 2021 Jul;81(13):2823-2837.e9. IF:17.97 (GenStar #B111)
 8. Chen Jiani, Fang Gangqi, Pang Lan, et al. Neofunctionalization of an ancient domain allows parasites to avoid intraspecific competition by manipulating host behaviour. *Nature Communications*. 2021;12,5489. IF:14.919 (GenStar #E124)
 9. Xinglong Liu, Zhengfeng Li, Xiao Li, et al. Neutralizing monoclonal antibodies protect against human adenovirus type 55 infection in transgenic mice and tree shrews. *Emerging Microbes & Infections*. 2024.Jan. IF=13.2 (GenStar #E170)
 10. Jin Qin, Liu Xiaoyi, Zhuang Zhenpeng, et al. Doxycycline-dependent Cas9-expressing pig resources for conditional in vivo gene nullification and activation. *GENOME BIOLOGY*. 2023 Jan;24,8. IF:12.3 (GenStar #E162)

■ 细胞转染系列

1. Zhu Qiong, Fu Yesheng, Cui ChunPing, et al. OTUB1 promotes osteoblastic bone formation through stabilizing FGFR2. *Signal Transduction and Targeted Therapy*. 2023 Apr;8,142. IF:39.3 (GenStar #C101)
2. Yunlong Cao, Weiliang Song, Lei Wang, et al. Characterization of the enhanced infectivity and antibody evasion of Omicron BA.2.75. *Cell Host & Microbe*. 2022 Nov;30(11):1527-1539.e5. IF:31.316 (GenStar #C104)
3. Feifei Zuo, Junyi Jiang, Haipeng Fu, et al. A TRIM66/DAX1/Dux axis suppresses the totipotent 2-cell-like state in murine embryonic stem cells. *Cell Stem Cell*. 2022 Jun;29(6):948-961.e6. IF:24.633 (GenStar #C103)
4. Meixin Chen, Zhiyao Zhao, Qingcai Meng, et al. TRIM14 Promotes Noncanonical NF- κ B Activation by Modulating p100/p52 Stability via Selective Autophagy. *Advanced Science*. 2020 Jan;7(1). IF:15.804 (GenStar #C101)
5. Boshen Wang, Shouxiang Xu, Qianyu Sun, et al. Let-7e-5p, a promising novel biomarker for benzene toxicity, is involved in benzene-induced hematopoietic toxicity through targeting caspase-3 and p21. *ECOTOXICOLOGY AND ENVIRONMENTAL SAFETY*. 2022 Nov;246,114142. IF:7.129 (GenStar #C102)
6. Xing Huang, Yan Huang, Zheng Lv, et al. Loss of cell division cycle-associated 5 promotes cell apoptosis by activating DNA damage response in clear cell renal cell carcinoma. *INTERNATIONAL JOURNAL OF ONCOLOGY*. 2022 May;87. IF:5.65 (GenStar #C103)
7. Wei Luo, Zheng Song, Guang Xu, et al. LicochalconeB inhibits cGAS-STING signaling pathway and prevents autoimmunity diseases. *International Immunopharmacology*. 2024.Jan. IF=5.6 (GenStar #C101)





康润生物，伴您生命科学成功之路

Add: 北京市昌平区中关村生命科学园生命园路8号院一区9号楼A座5层

Tel: 400-666-3332

E-mail: tech.service@gene-star.com

Web: www.gene-star.com